

Ekscytony w Cu₂O

Cu₂O – przerwa prosta wzbroniona

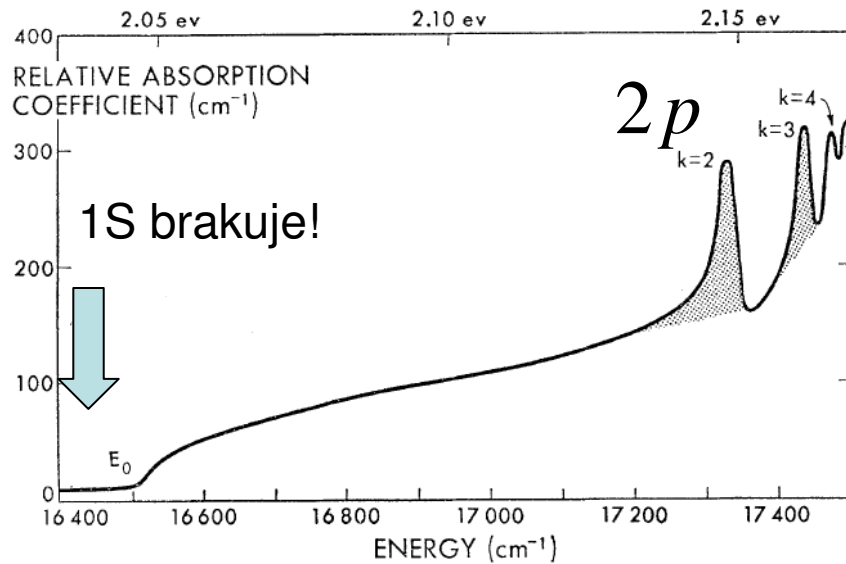


FIG. 2. Relative absorption coefficient as a function of photon energy in cm⁻¹ of Cu₂O at 4.2°K.

$$\alpha_n \sim \frac{n^2 - 1}{n^5} \quad \text{Przejście wzbronione dla } n=1$$

$$E_n = (2.166 - 0.097/n^2) eV \quad n = 2, 3, \dots$$

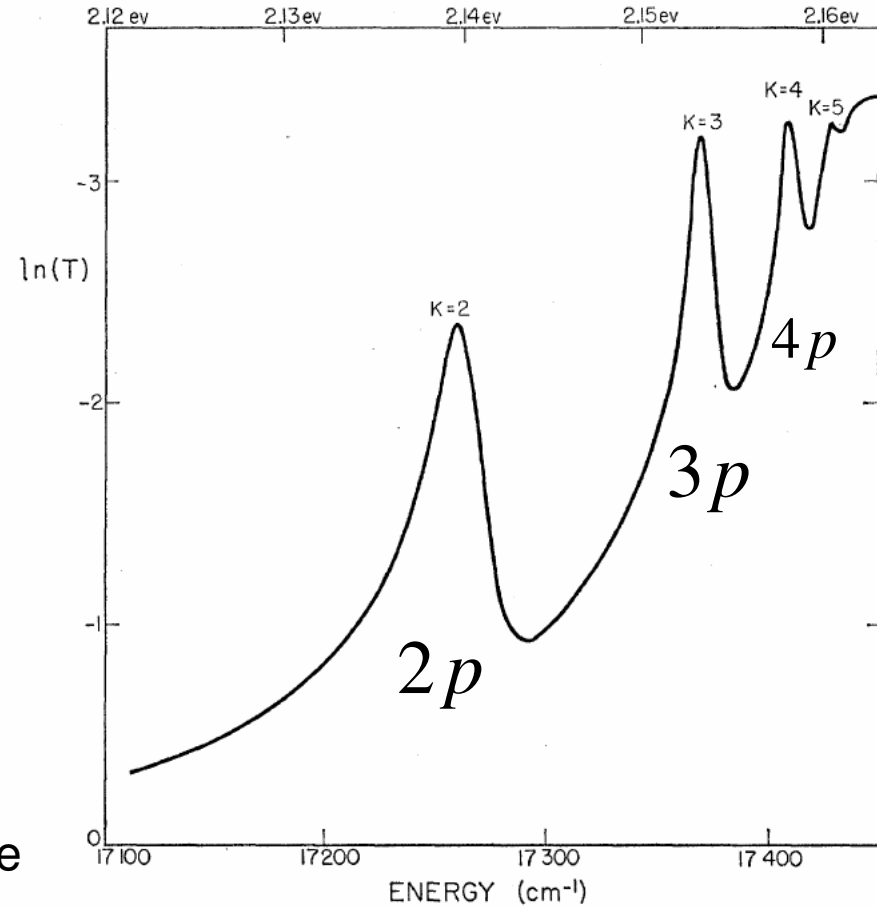


FIG. 6. The logarithm of the transmission as a function of photon energy of a Cu₂O sample at 77°K, showing the details of the yellow series of exciton lines.

Transmisja ekscytonowa w GaN

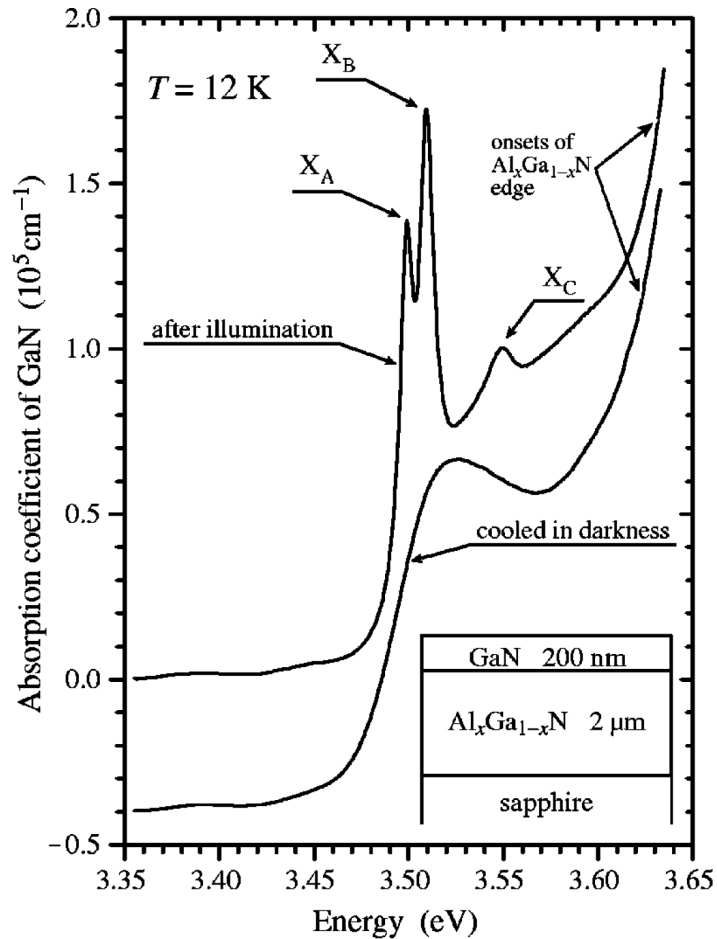


FIG. 1. Two spectra of the fundamental absorption edge of GaN measured in the same GaN/AlGaN heterostructure at the same temperature of 12 K. The broad one was measured after the sample had been cooled in darkness from 300 to 12 K. The sharp one was measured after the sample had been illuminated at the low temperature. The broad spectrum was shifted by $-0.4 \times 10^5 \text{ cm}^{-1}$ for clarity of presentation.

Problemy:

- pola elektryczne (np. wokół dyslokacji),
- niejednorodne naprężenia

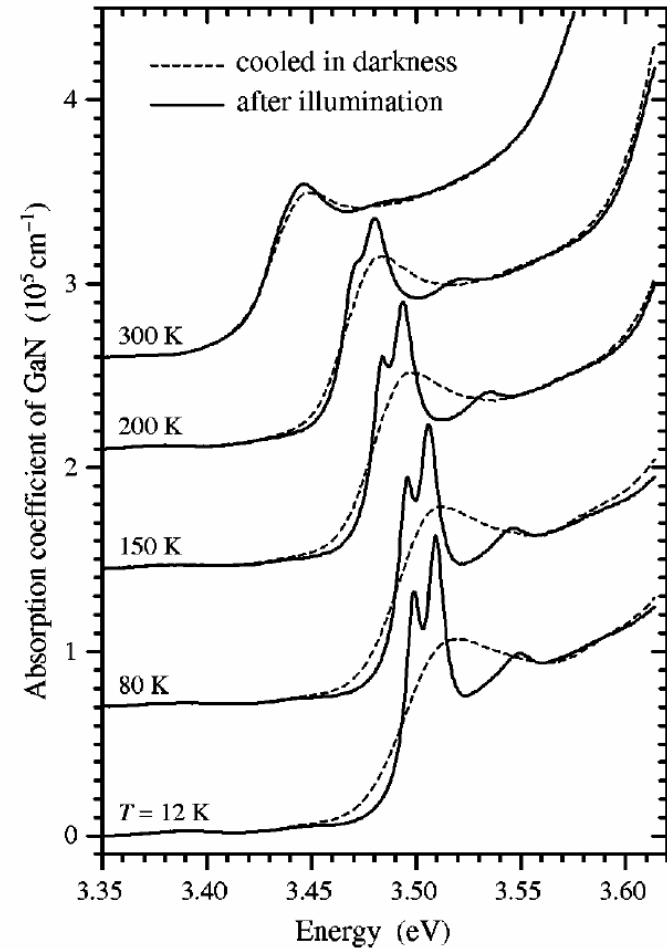
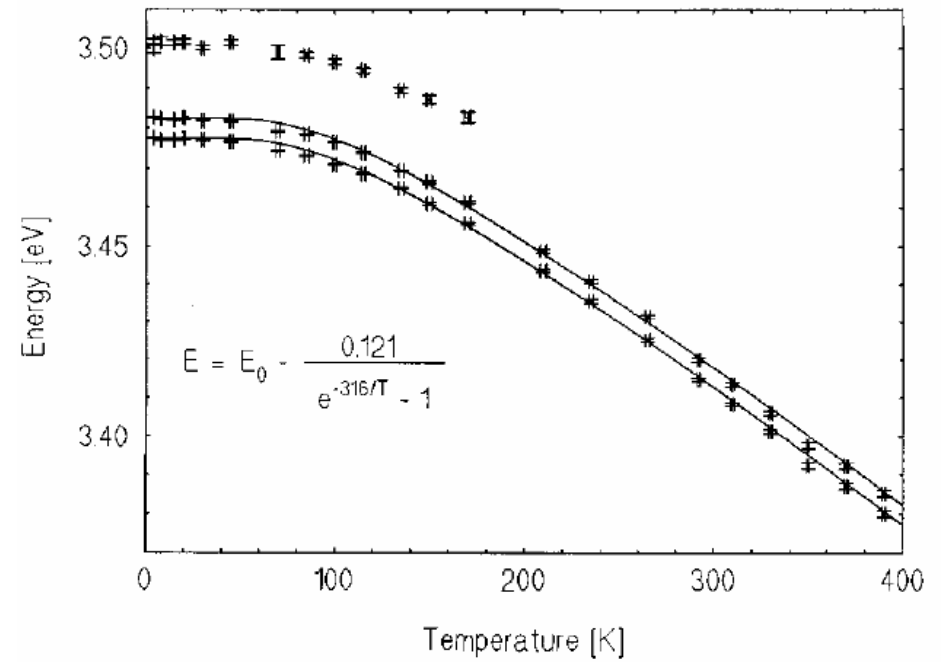
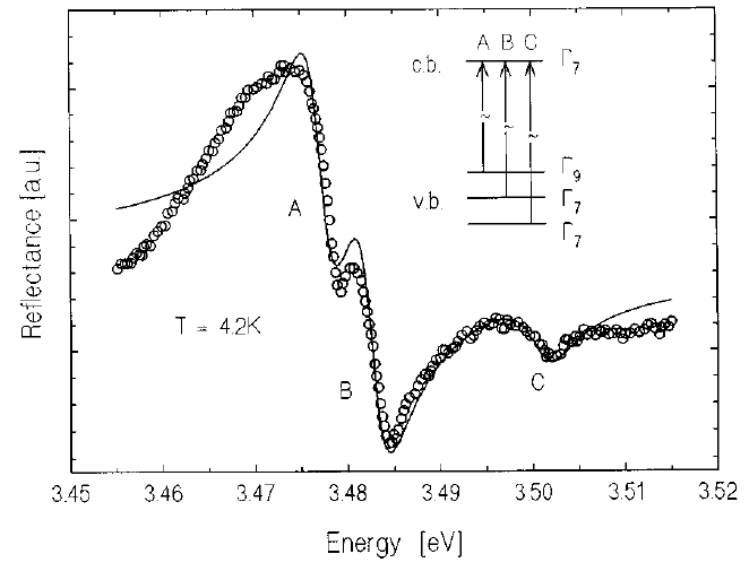
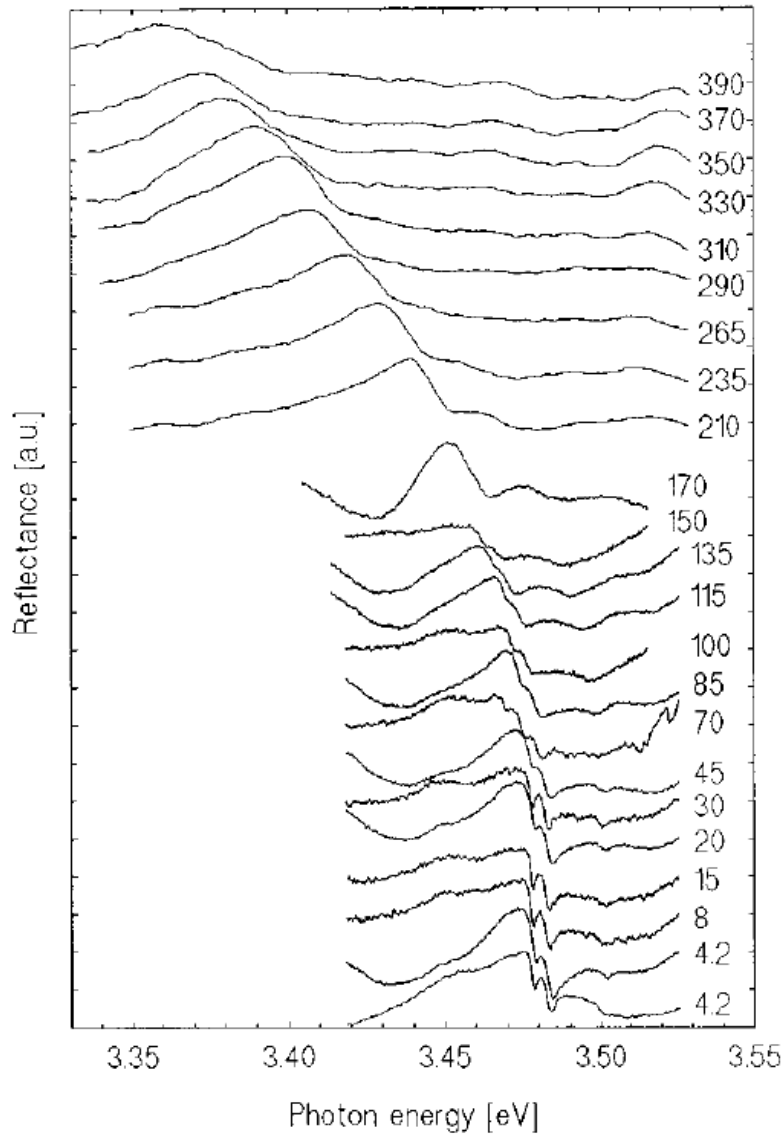


FIG. 2. Light-induced metastable narrowing of the fundamental absorption edge of GaN measured in a GaN/AlGaN heterostructure at five different temperatures between 12 and 300 K. The spectra were shifted vertically for clarity of presentation.

Pierwsze pomiary odbicia na próbkach homoepitaksyjnych GaN



K. Korona et al. APL **69**, 788 (1996)

$E_A, E_B, E_C, \Delta_{SO}, \Delta_{CF}$

Polariton ekscytonowy

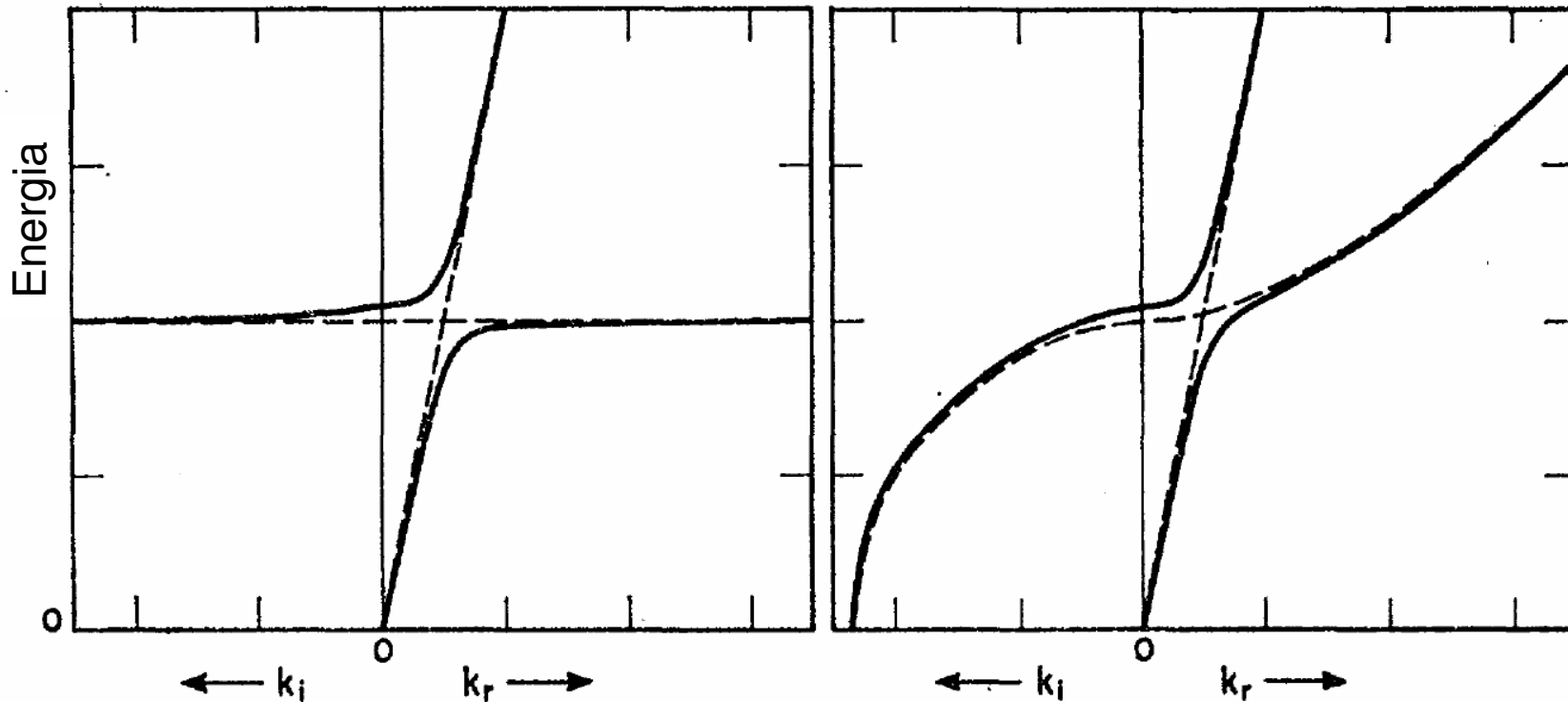
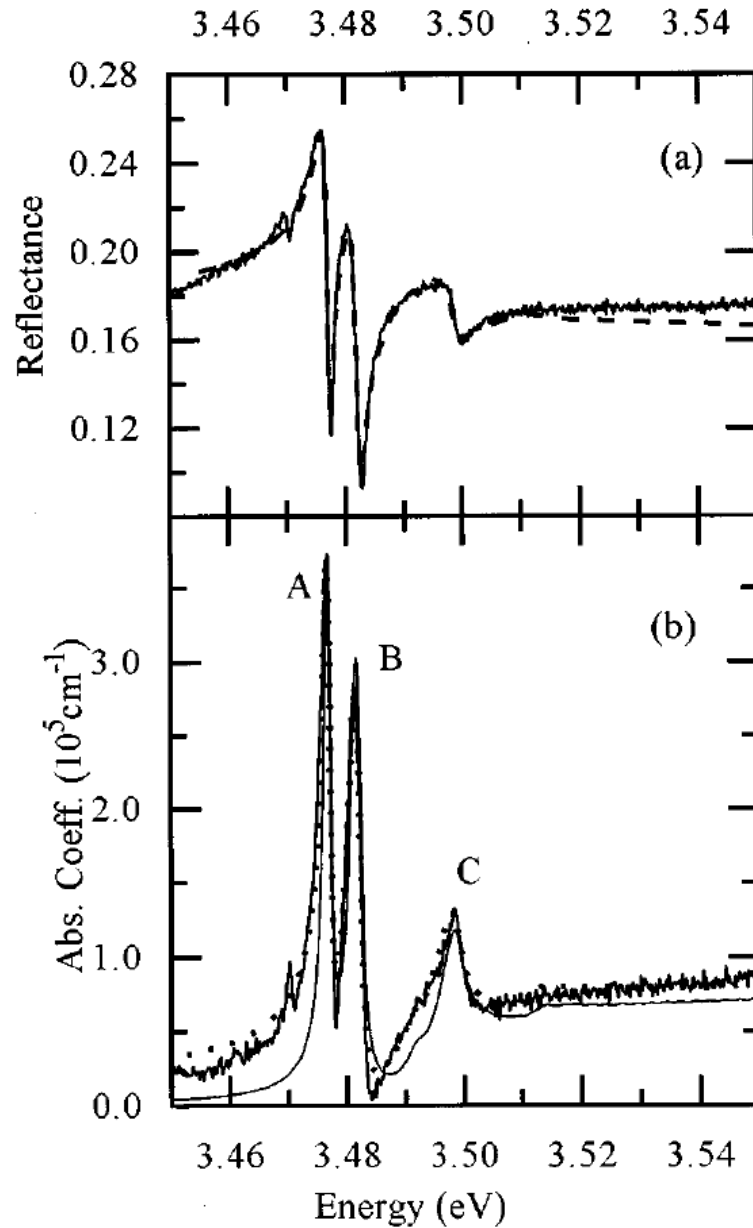
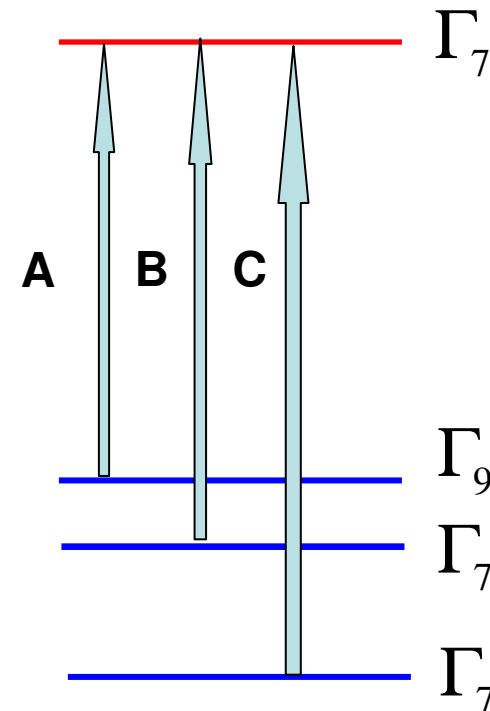


FIG. 2. The frequency wave-vector dispersion relation for the transverse normal modes of light coupled to a classical dielectric (graph at left) and a dielectric having spatial resonance dispersion (at right). No damping is included. The normal mode wave vectors are in either case either purely real or purely imaginary, and are plotted to the right or left accordingly. The dashed lines show the dispersion relations for $\alpha_0 = \text{zero}$; the solid lines for a finite α_0 . Parameters have been chosen to display clearly the differences between the models.

Analiza polaritonowa widm odbicia w GaN



W widmie odbiciowym pojawiły się struktury odpowiadające trzem rodzajom ekscytonów swobodnych w GaN



Polaritony w GaN

$$\omega_X = \omega_{TX} + \frac{\hbar k^2}{2M},$$

$$\frac{\partial^2 P}{\partial t^2} + \omega_X^2 P = \omega_X^2 \alpha_X E - \gamma_X \frac{\partial P}{\partial t},$$

$$\varepsilon^* \frac{\partial^2 E}{\partial t^2} - c^2 \Delta E = -4\pi \frac{\partial^2 P}{\partial t^2},$$

E – pole elektryczne fotonu

P – wkład do polaryzacji pochodzący od ekscytonów

ε^* - stała dielektryczna ośrodka

$$\varepsilon^*(\omega) = \varepsilon_0^* + \sum_{n=2}^{\infty} f_n \frac{\omega_n^2}{\omega_n^2 - \omega^2 - i\delta\omega} + \int_{E_{\text{gap}}}^{E_{\text{max}}} f_s \frac{\omega_s^2 ds}{\omega_s^2 - \omega^2 - i\delta\omega}.$$

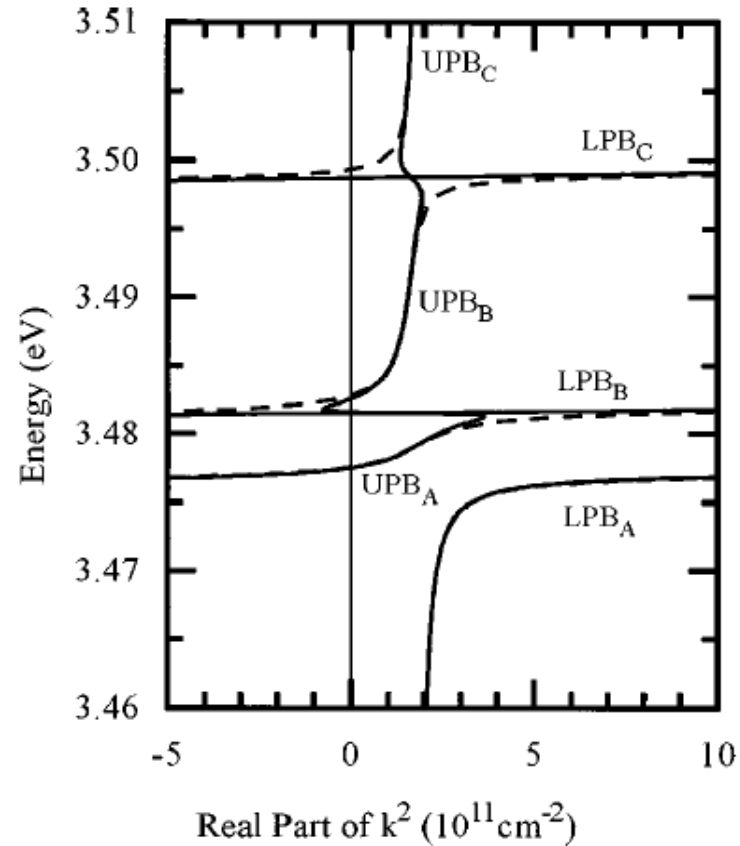
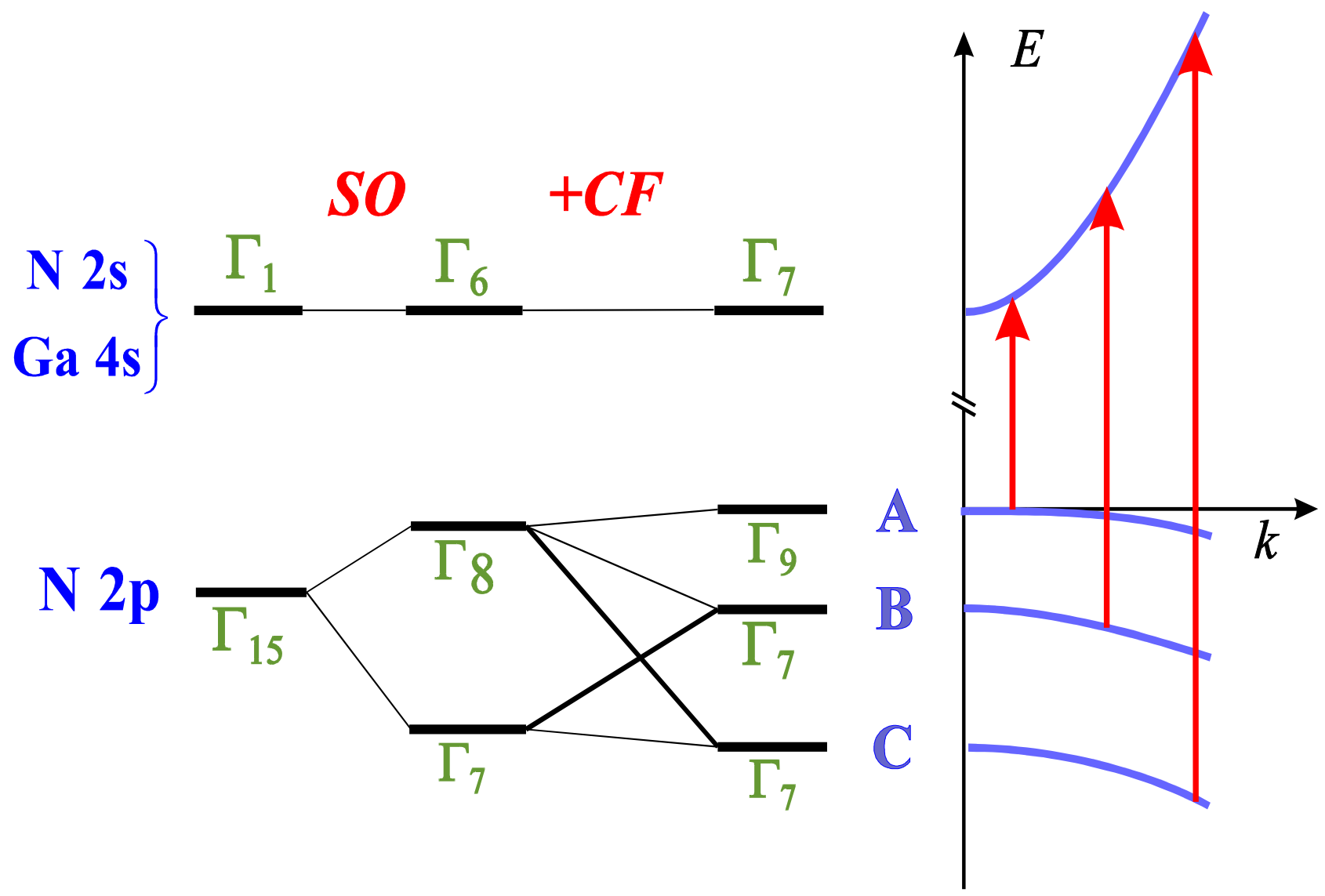


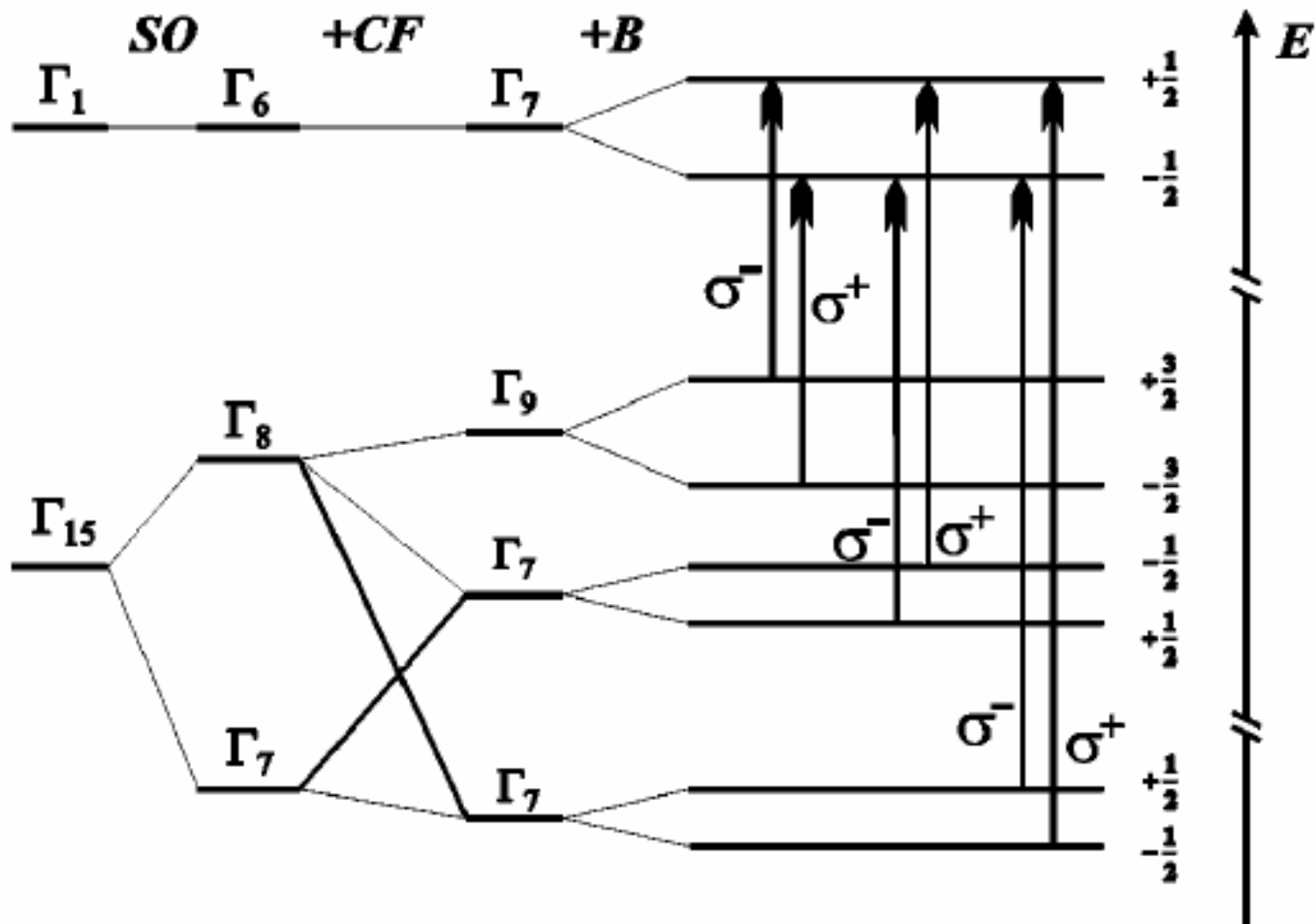
FIG. 1. Solid line: the calculated polariton dispersion curves of GaN. Four branches arising from photon coupling with A , B , and C excitons are labeled: LPB_X for the lower polariton branch of exciton X , and UPB_X for the upper polariton branch of exciton X . Three excitons lines originate from the crystal-field and spin-orbit splitting of the valence band. For comparison, curves calculated for $\gamma_X=0$ are plotted with a dashed line.

R. Stępniewski et al. PRB 56, 15151 (1997)

Struktura pasmowa GaN



Schemat rozszczepień w polu magnetycznym pasma przewodnictwa i pasma walencyjnego w GaN ($k=0$)



Umożliwia identyfikację symetrii stanów pasmowych!

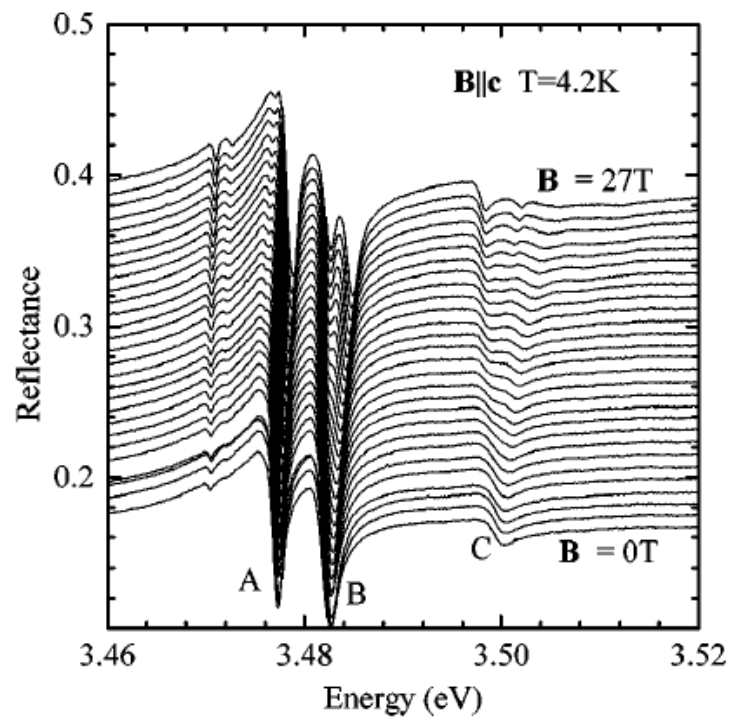
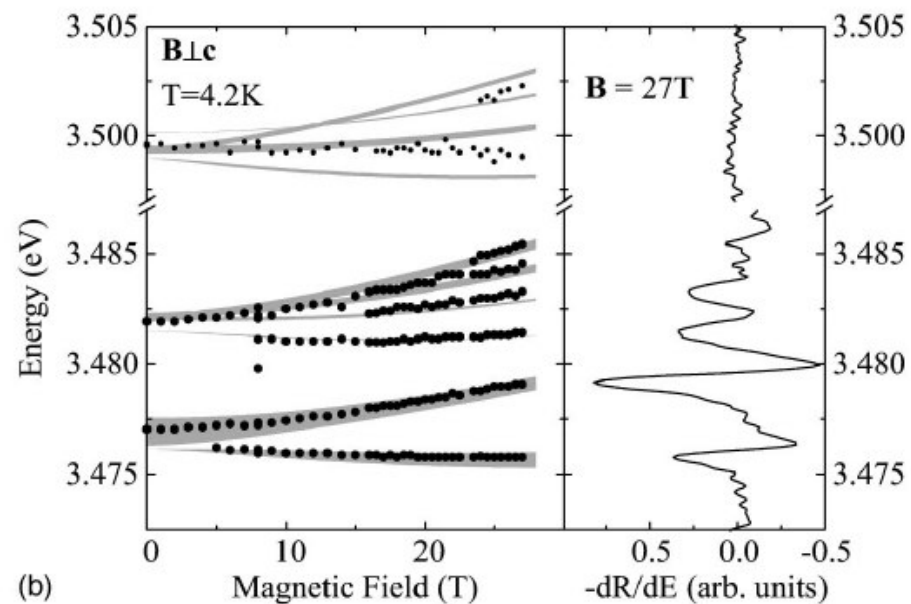
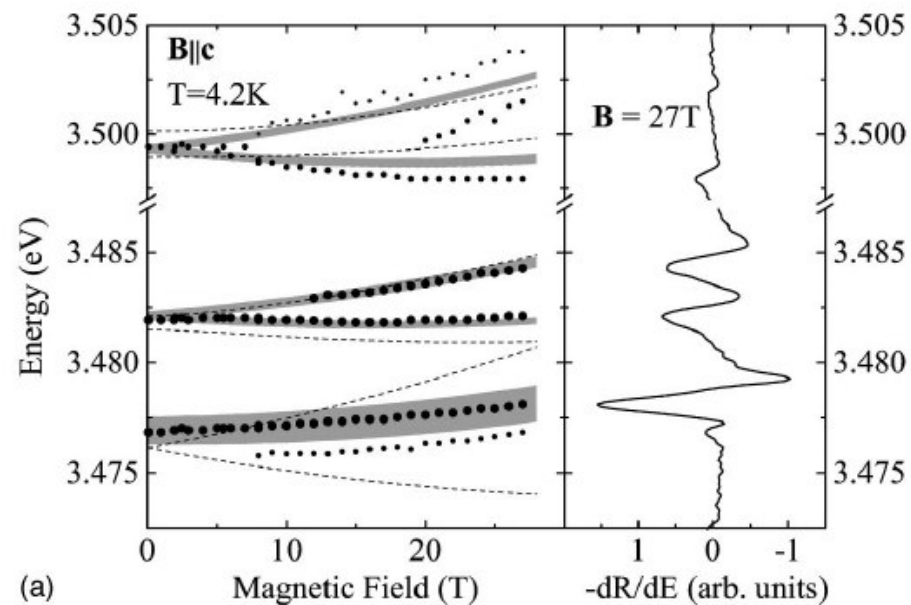


FIG. 1. Magnetorefectance spectra of GaN measured in magnetic fields up to 27 T applied along the c axis of the wurtzite crystal. For clarity, subsequent spectra are shifted vertically.

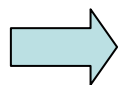
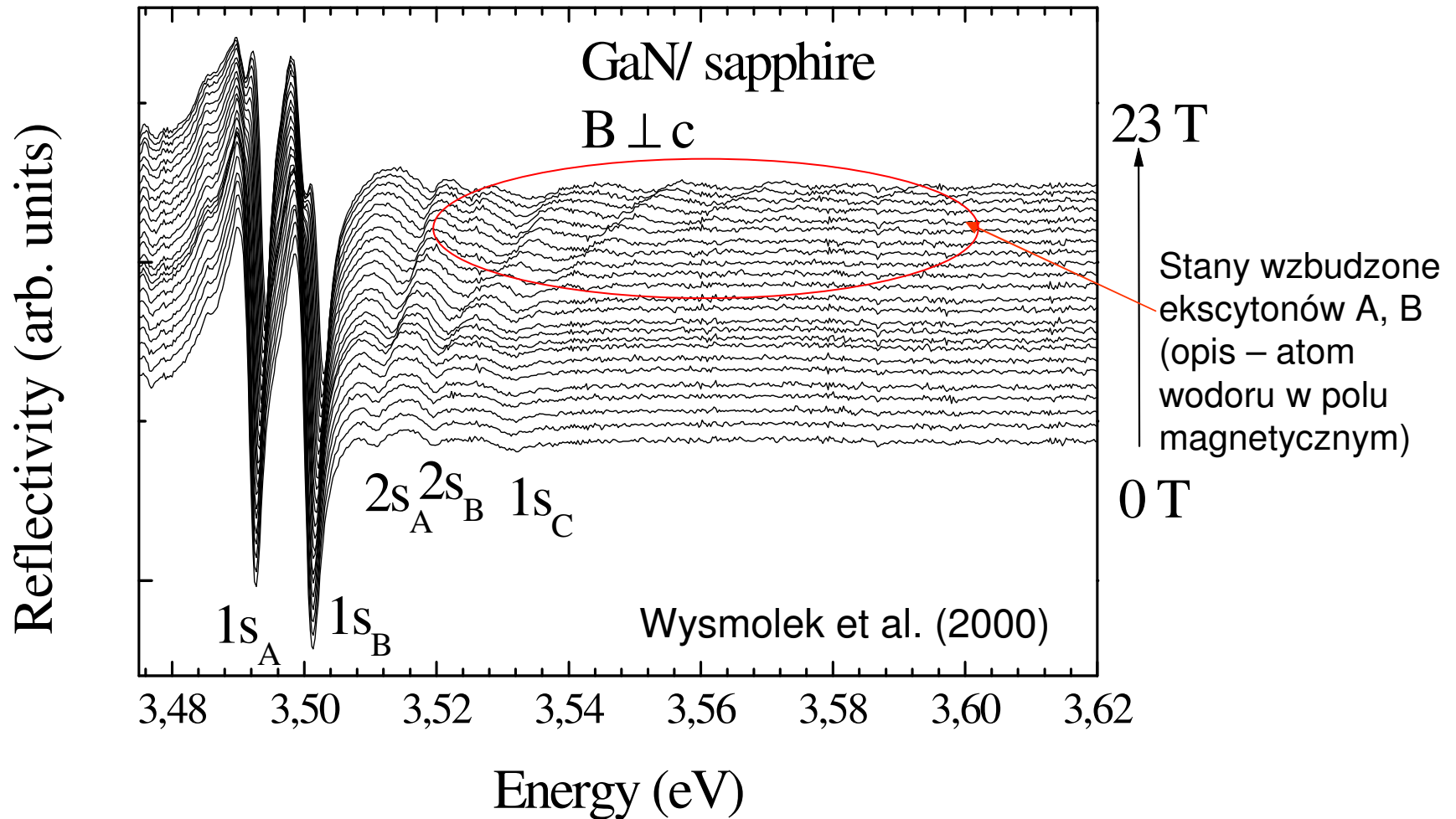


- symetria stanów ekscytonowych
- parametry pasmowe (wzorzec GaN)



R. Stepniewski et al. PRB **60**, 4438 (1999)

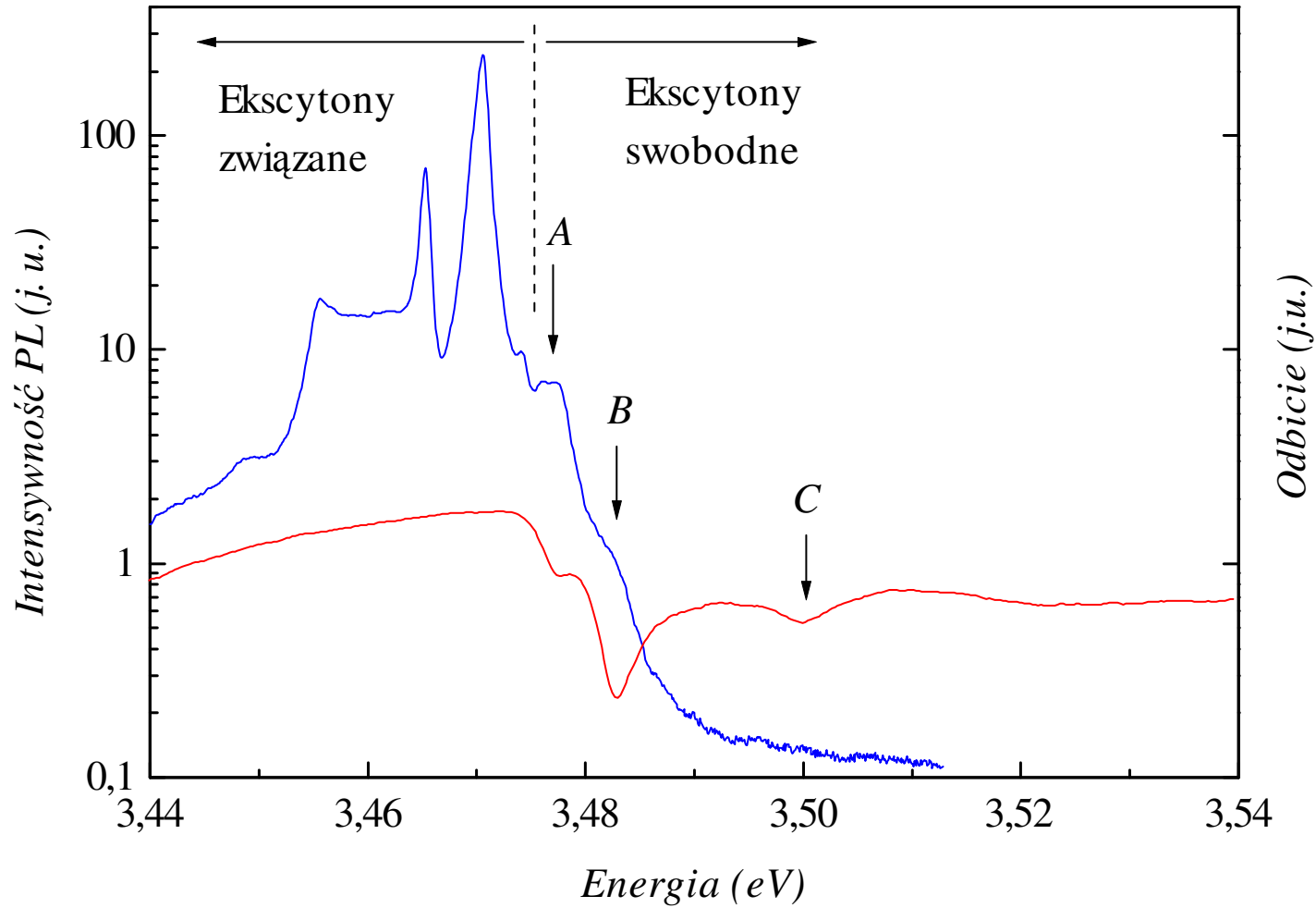
GaN na Al₂O₃ – naprężony, inne wzajemne położenia ekscytonów A, B, C



Parametry naprężonego GaN

	Δ_{cf} (meV)	Δ_{so} (meV)	g_e	κ	Δ_{ex} (meV)
GaN/GaN	10.3±0.1	17.7	1.95	-0.37	-0.84
GaN/ Al ₂ O ₃	30.1±0.1	±0.2	±0.02	±0.01	±0.05

Porównanie luminescencji i odbicia w GaN



Ekscytony swobodne lepiej widać w absorpcji i odbiciu
Ekscytony związane dominują w luminescencji

Przejścia ekscytonowe

Obserwacja: wysokiej jakości próbki o niewielkiej koncentracji domieszek i defektów

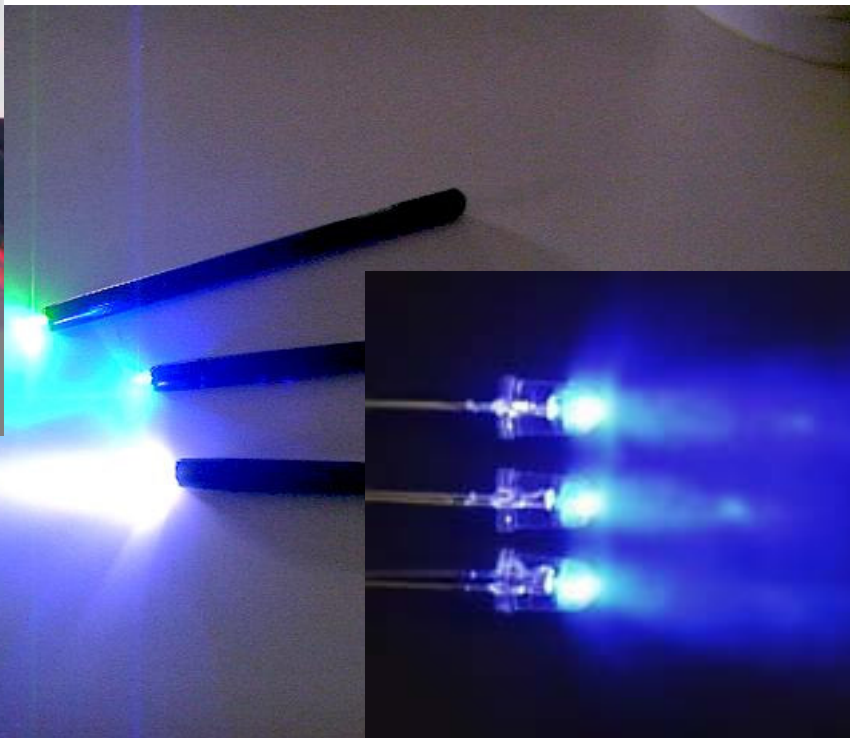
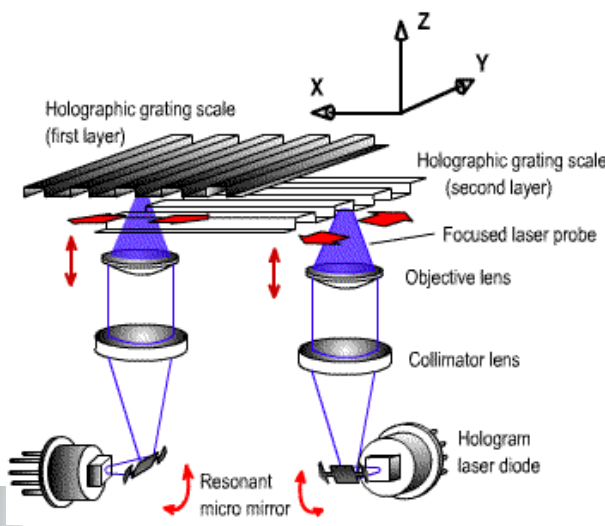
- **ekscytony swobodne**

- dobrze widoczne w absorpcji, odbiciu, fotoprzewodnictwie
- słabo widoczne w luminescencji (problem z odebraniem pędu przez foton)

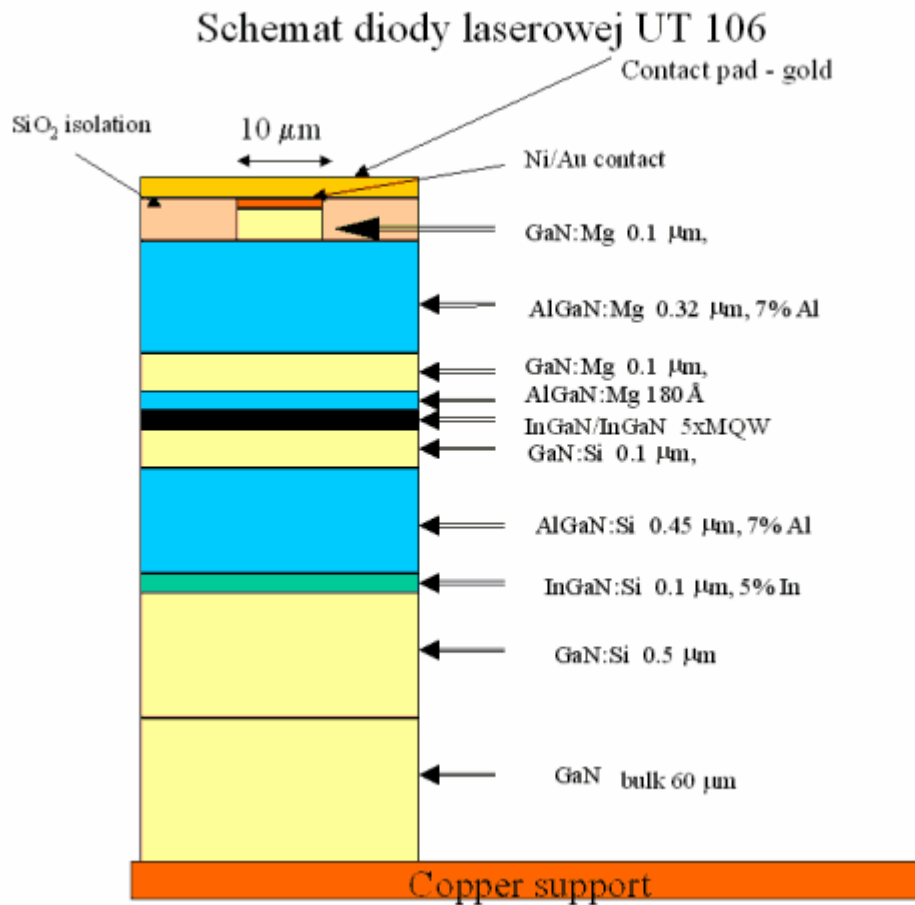
- **ekscytony związane**

- słabo widoczne w absorpcji, odbiciu (mała liczba domieszek)
- dobrze widoczne w luminescencji (pęd ekscytonu przejmowany jest przez domieszkę, nie ma problemu z emisją fotonu, w wyniku zderzeń ekscytony tracą energię i wiążą się w domieszkami tworząc kompleksy ekscytonowe)

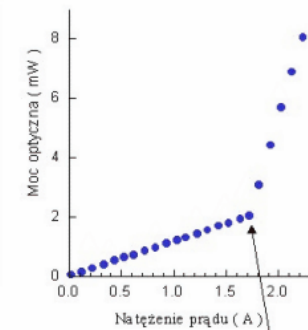
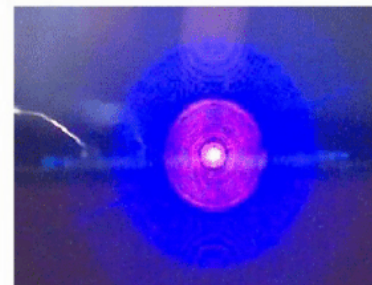
Niebieska optoelektronika



Niebieski laser

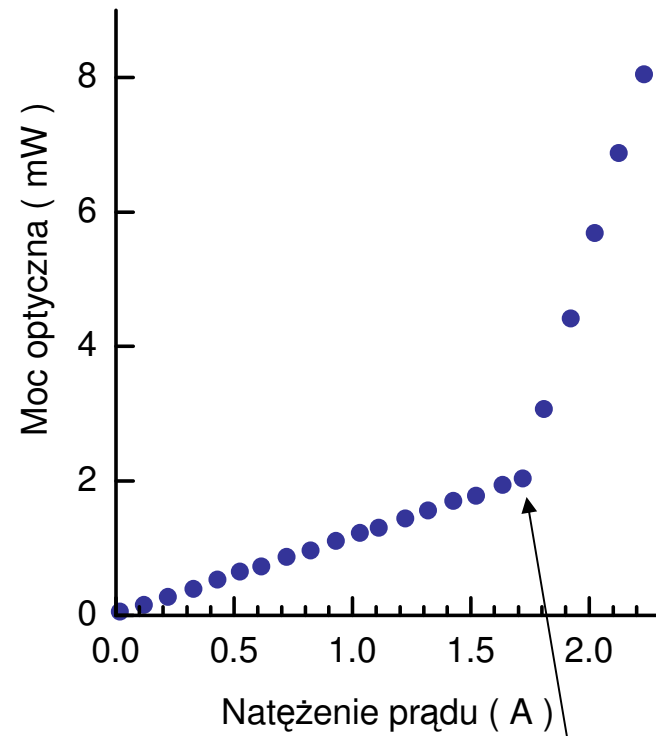
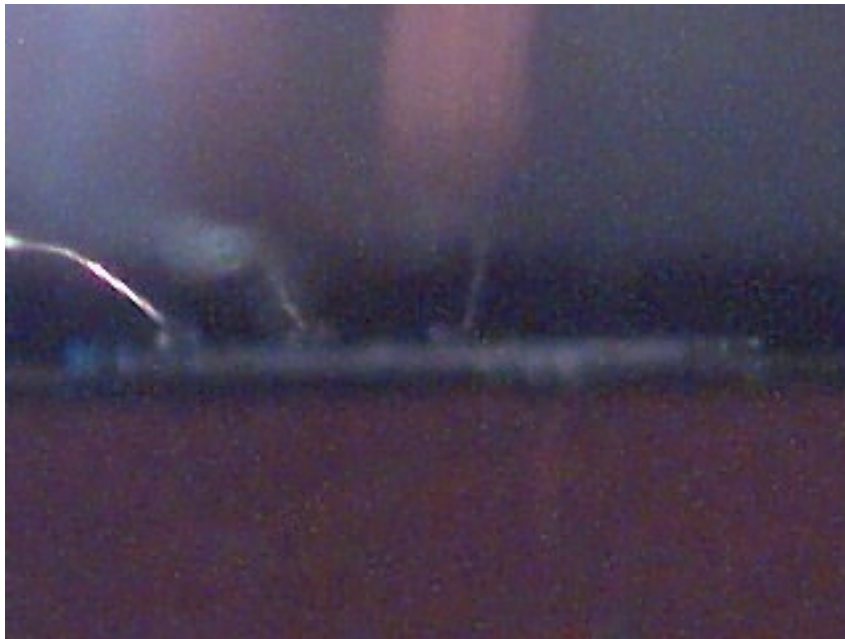


Elektryczne pobudzenie struktury laserowej „UT 106”



Akcja laserowa

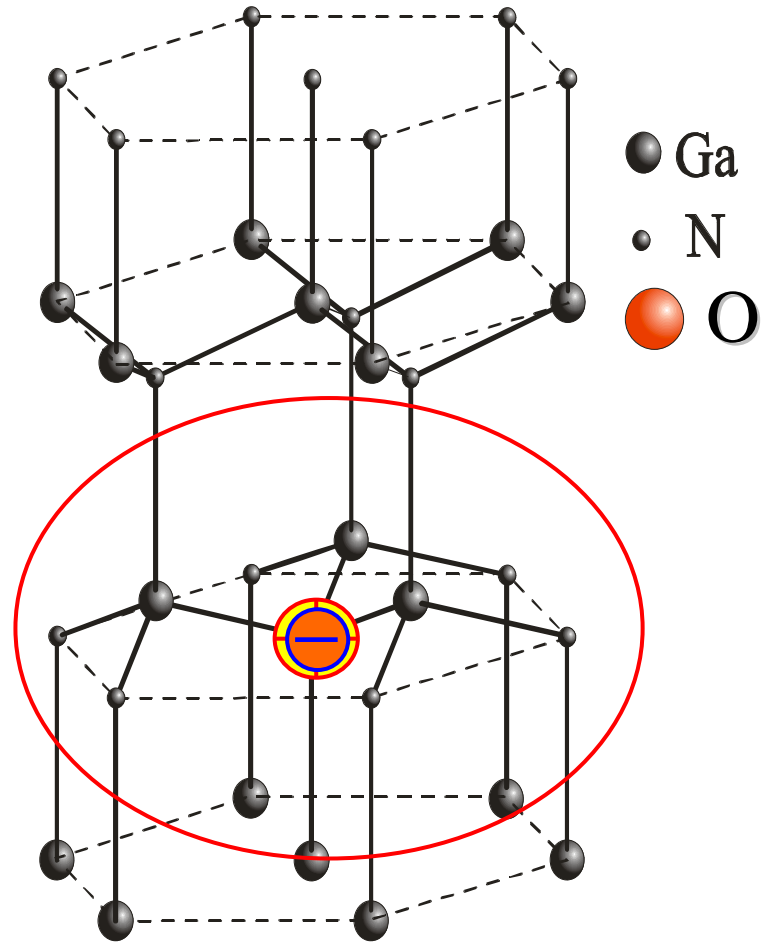
Elektryczne pobudzenie struktury laserowej „Unipress 106”



Akcja laserowa

Domieszkowanie...

m^*



Neutralny donor w przybliżeniu masy efektywnej

$$\left(-\frac{\hbar^2}{2m^*} \Delta - \frac{e^2}{4\pi\epsilon_s \epsilon_0 r} \right) \Phi_n(\mathbf{r}) = E \Phi_n(\mathbf{r})$$

$$E_n = -\frac{R^*}{n^2}; \quad n = 1, 2, \dots; \quad R^* = 13.6eV \frac{m^*}{\epsilon_s^2}$$

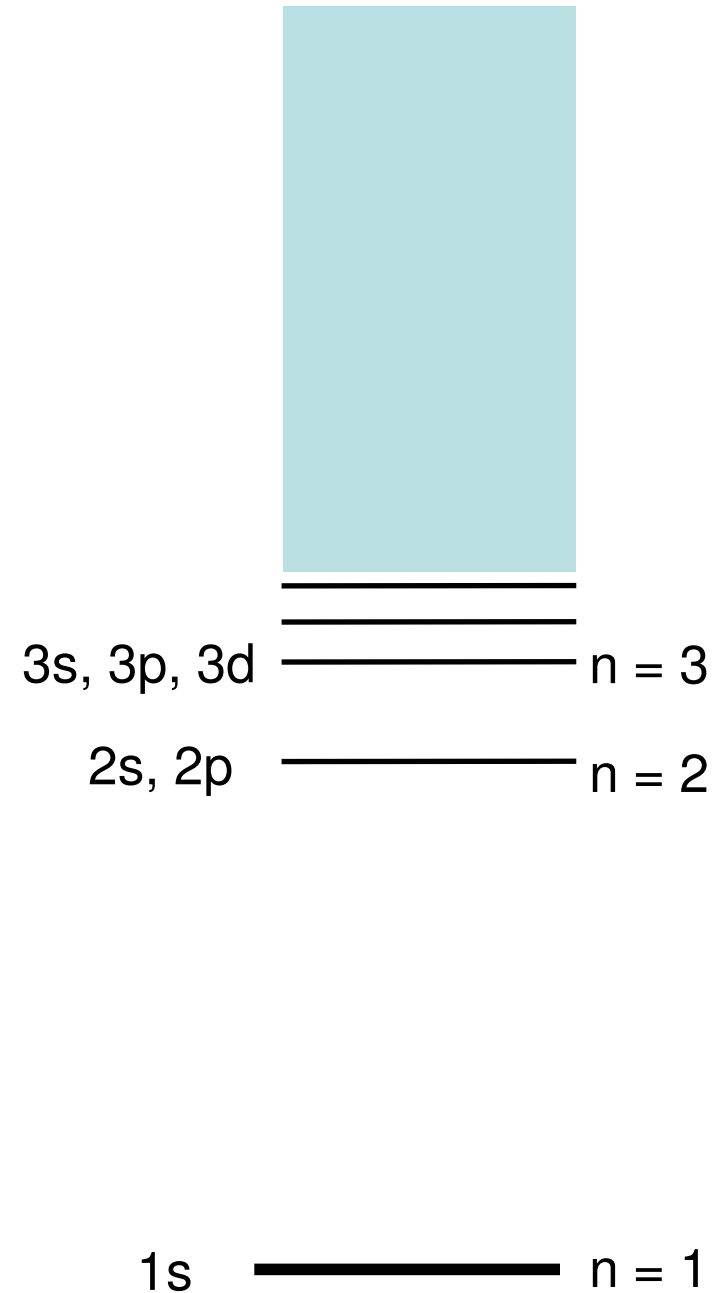
Problem bardzo zbliżony do rozważań ekscytonowych!

J. Luttinger and W. Kohn, Physical Review **97**, 869 (1955)

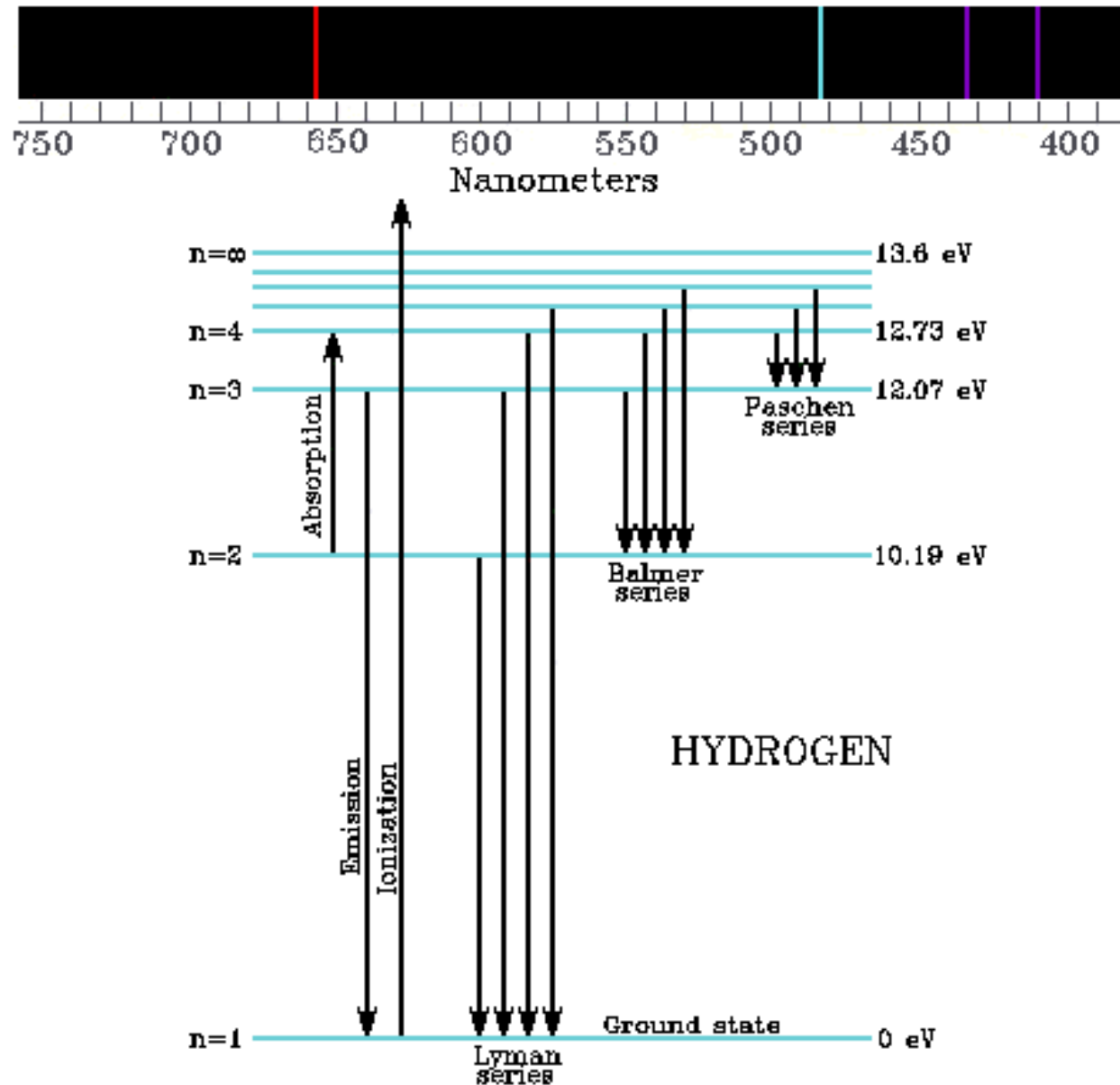
Atom wodoru

$$E_n = -\frac{m_0 e^4}{2(4\pi\epsilon_0)^2 \hbar^2} \frac{1}{n^2} = -R \frac{1}{n^2}$$

$$R = 13,6 \text{ eV}$$



Widmo atomu wodoru



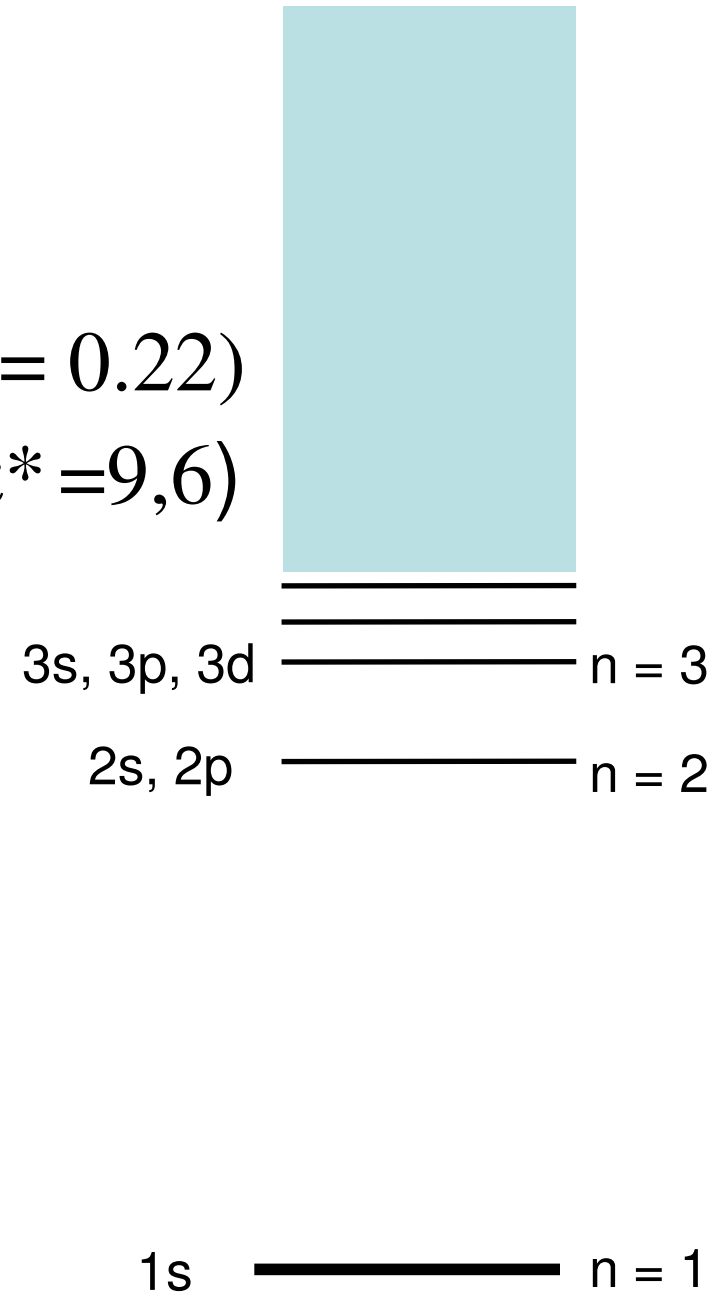
Donor

$$m_0 \rightarrow m = m^* m_0 \quad (\text{dla GaN } m^* = 0.22)$$

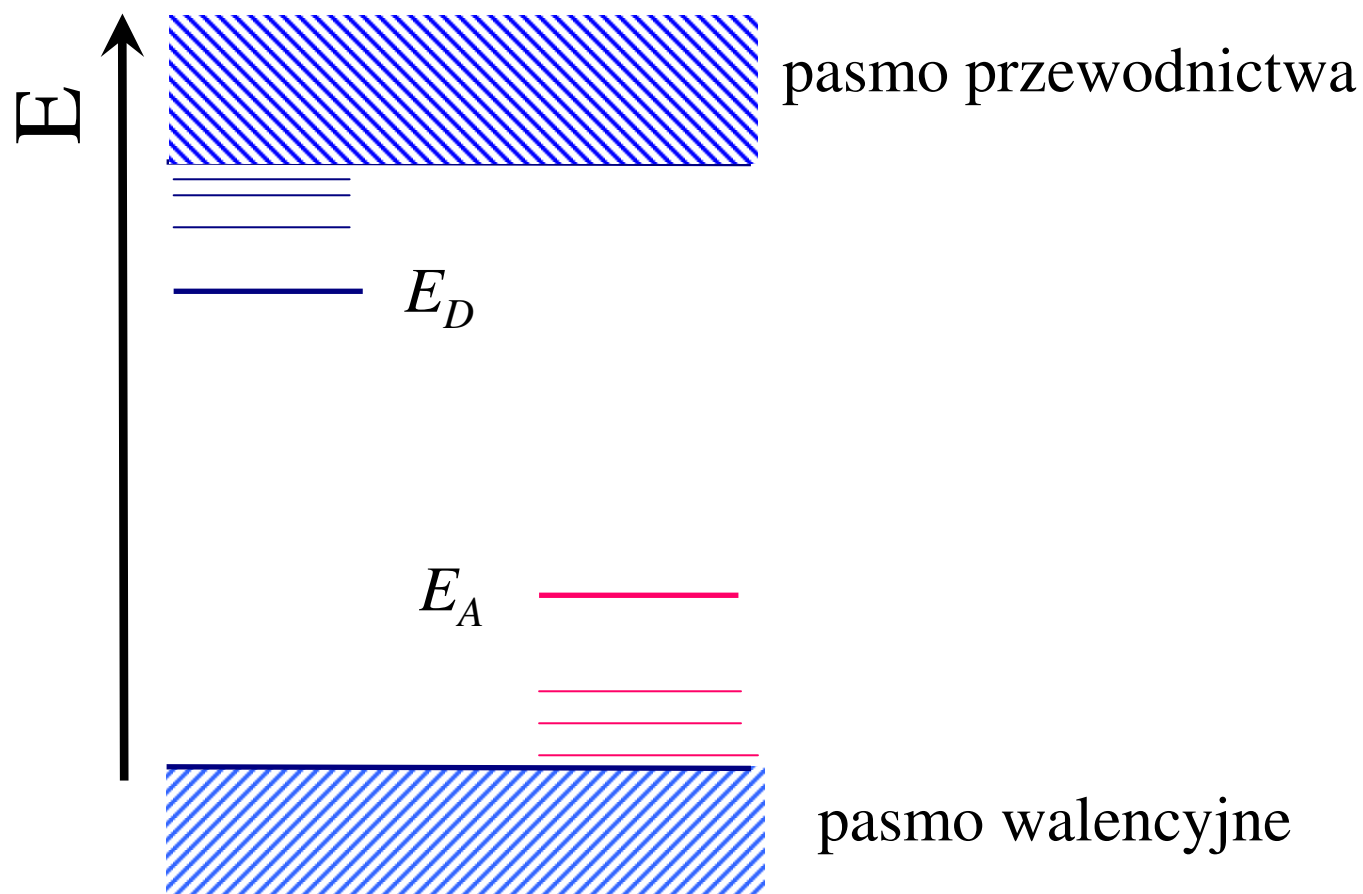
$$\epsilon_0 \rightarrow \epsilon = \epsilon^* \epsilon_0 \quad (\text{dla GaN } \epsilon^* = 9,6)$$

$$R^* = R \frac{m^*}{(\epsilon^*)^2}$$

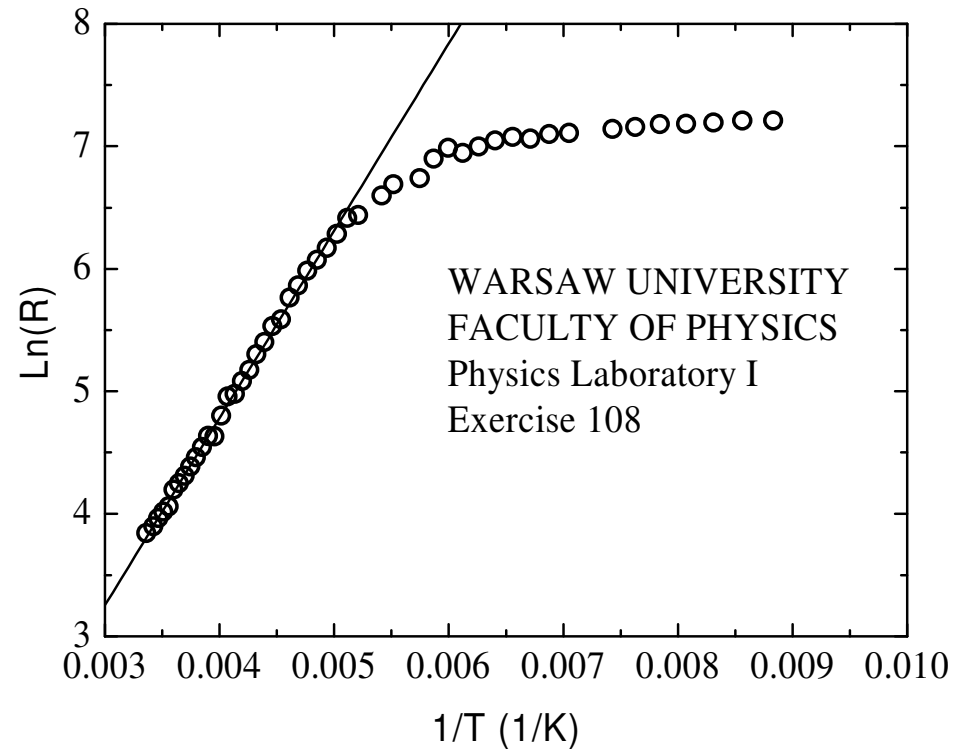
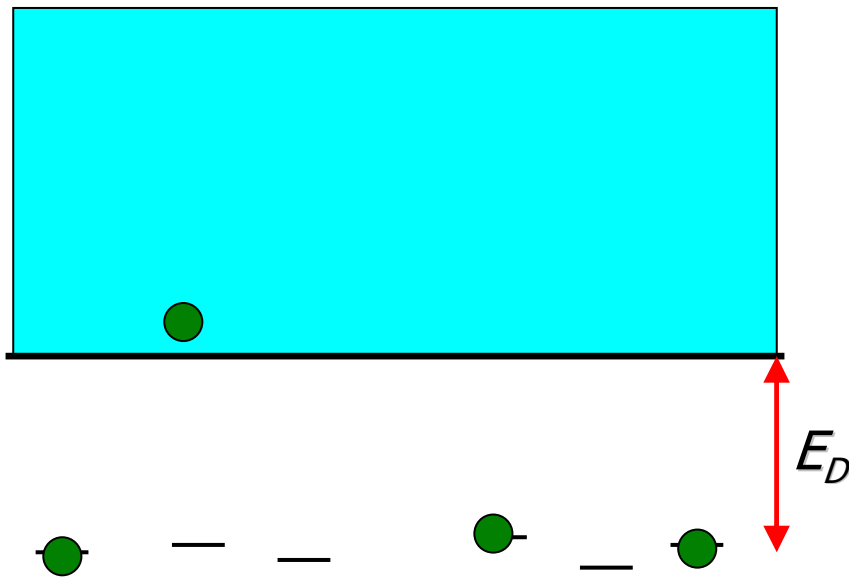
$$R^* = 30 \text{ meV}$$



Stany domieszkowe



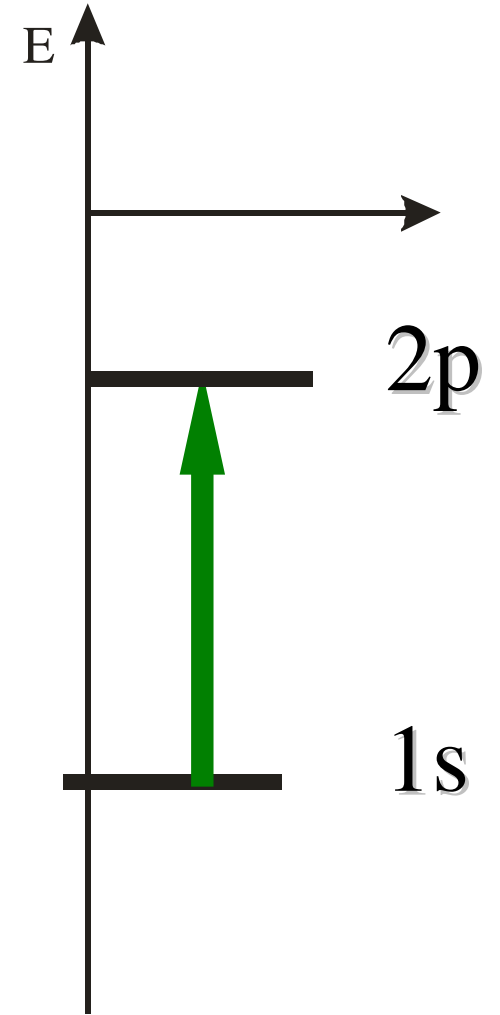
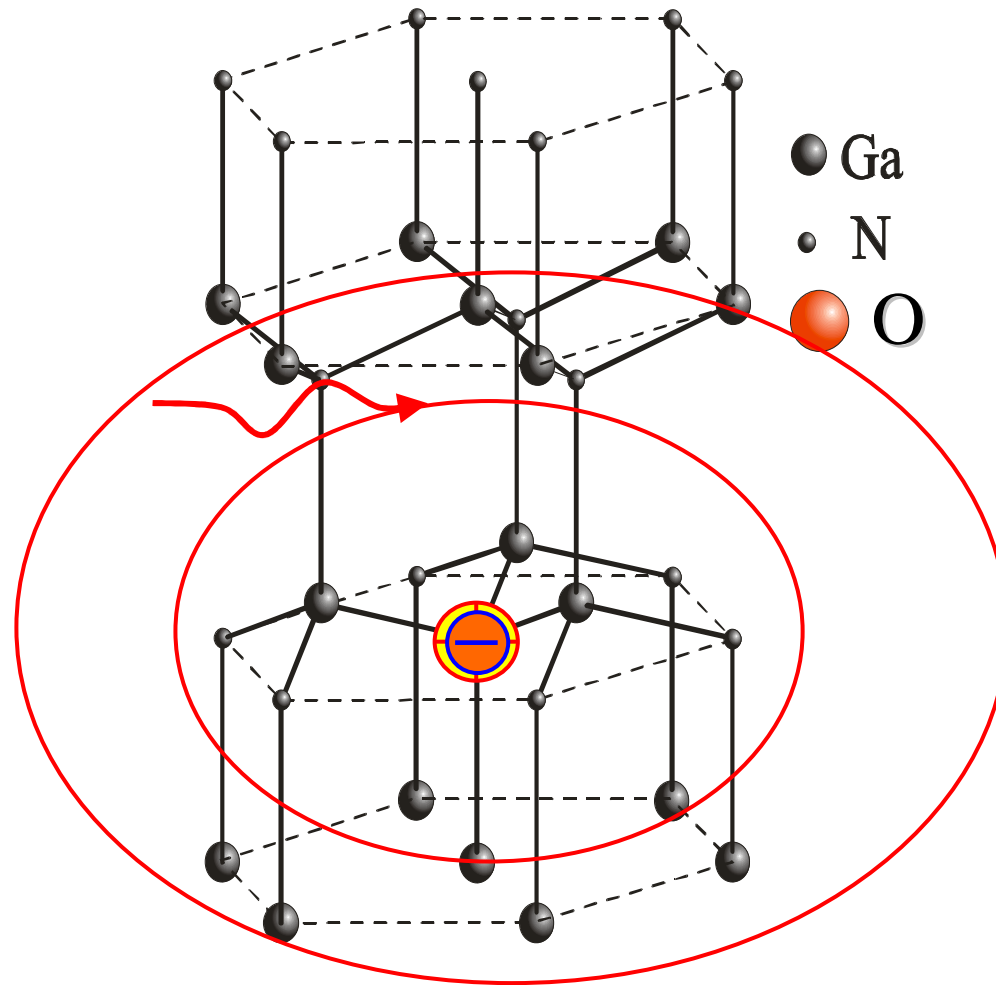
Energia wiązania donora



$$R = R_{\infty} \exp(E_D / k_B T)$$

Neutralny donor

m^*



Wodór w polu magnetycznym

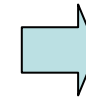
$$\hat{H} = \frac{1}{2m^*} (\mathbf{p} + e\mathbf{A})^2 - \frac{e^2}{4\pi\epsilon_0\epsilon_s} \frac{1}{r}$$

$$\vec{A} = 1/2(\vec{B} \times \vec{r})$$

(Cechowanie cylindryczne)

Charakterystyczne jednostki długości i energii:

$$a^* = \frac{4\pi\hbar^2\epsilon_0\epsilon}{e^2m^*} \quad Ry^* = \frac{m^*e^4}{2\hbar^2(4\pi\epsilon_0\epsilon_s)^2}$$



$$E_0 = 2Ry^*$$

$$\gamma = \frac{1/2\hbar\omega_c}{Ry^*}$$

We współrzędnych biegunowych (ρ, φ, z)

$$\hat{H} = -\nabla^2 - \frac{2}{r} - i\gamma \frac{\partial}{\partial \varphi} + \frac{1}{4} \gamma^2 \rho^2$$

$$r = \sqrt{\rho^2 + z^2}$$

Rachunek wariacyjny

$$\Psi = \sum_j C_j \psi_j$$

Funkcje bazowe

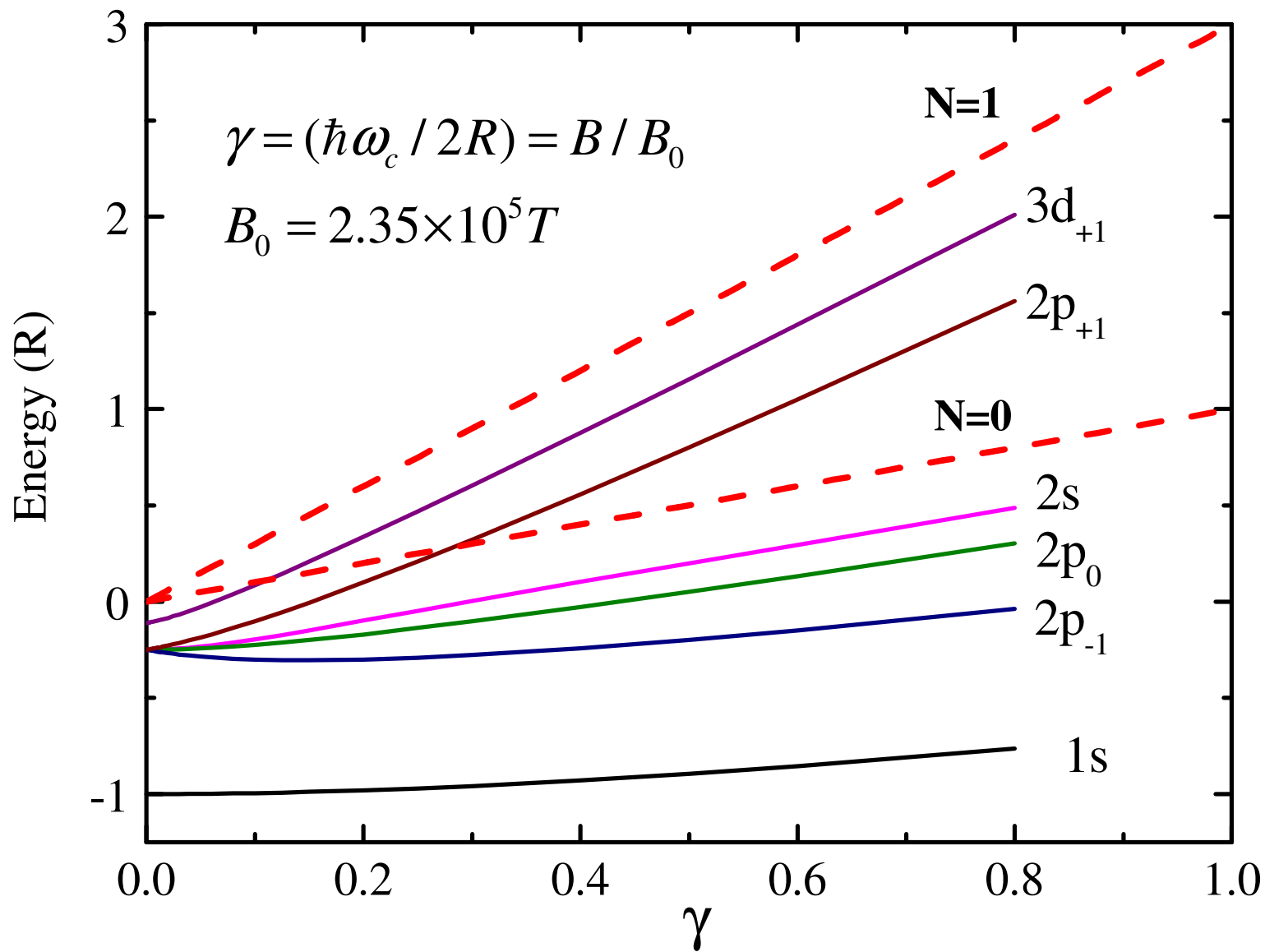
$$\psi_i = \rho^{|m|} e^{i\varphi m} z^q e^{-\alpha_i \rho^2} e^{-\beta_i z^2}$$

Symetria Hamiltonianu:

$$E_{-|m|} = E_{|m|} - 2|m|\gamma$$

Wodór w polu magnetycznym

- P. C. Macado and N. C. McGill,
J. Phys. C: Solid State Physics **19**, 873 (1986)
- W. Rösner, G. Wunner, H. Herold and H. Ruder,
J. Phys. B: At. Mol. Phys. **17**, 29 (1984)
- A. V. Turbiner,
J. Phys. A: Math. Gen. **17**, 858 (1984)
- Y. P. Kravchenko, M.A. Liberman, B. Johanson,
PRB **54**, 287 (1996)



Y. P. Kravchenko, M.A. Liberman, B. Johanson, PRB **54**, 287 (1996)

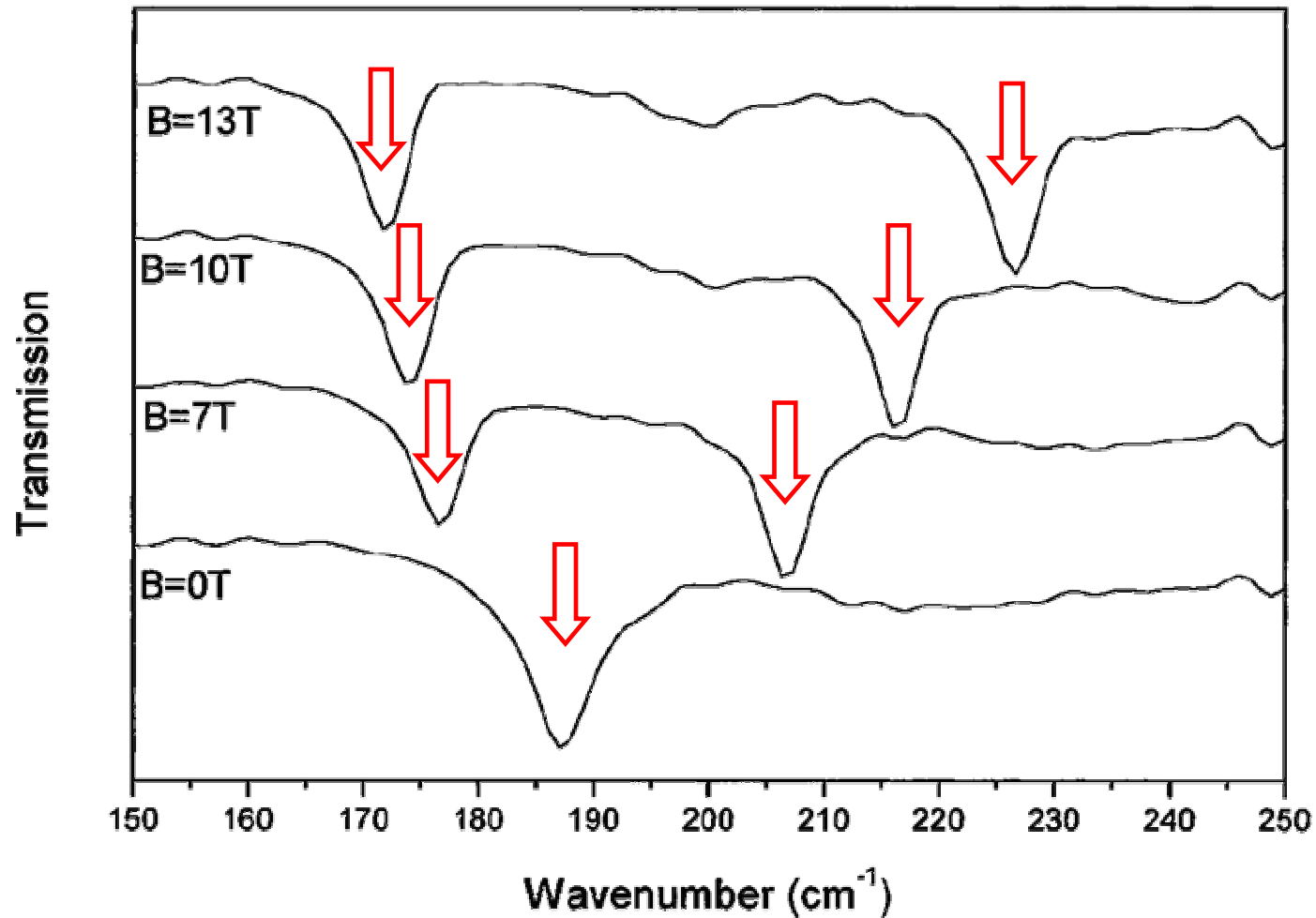


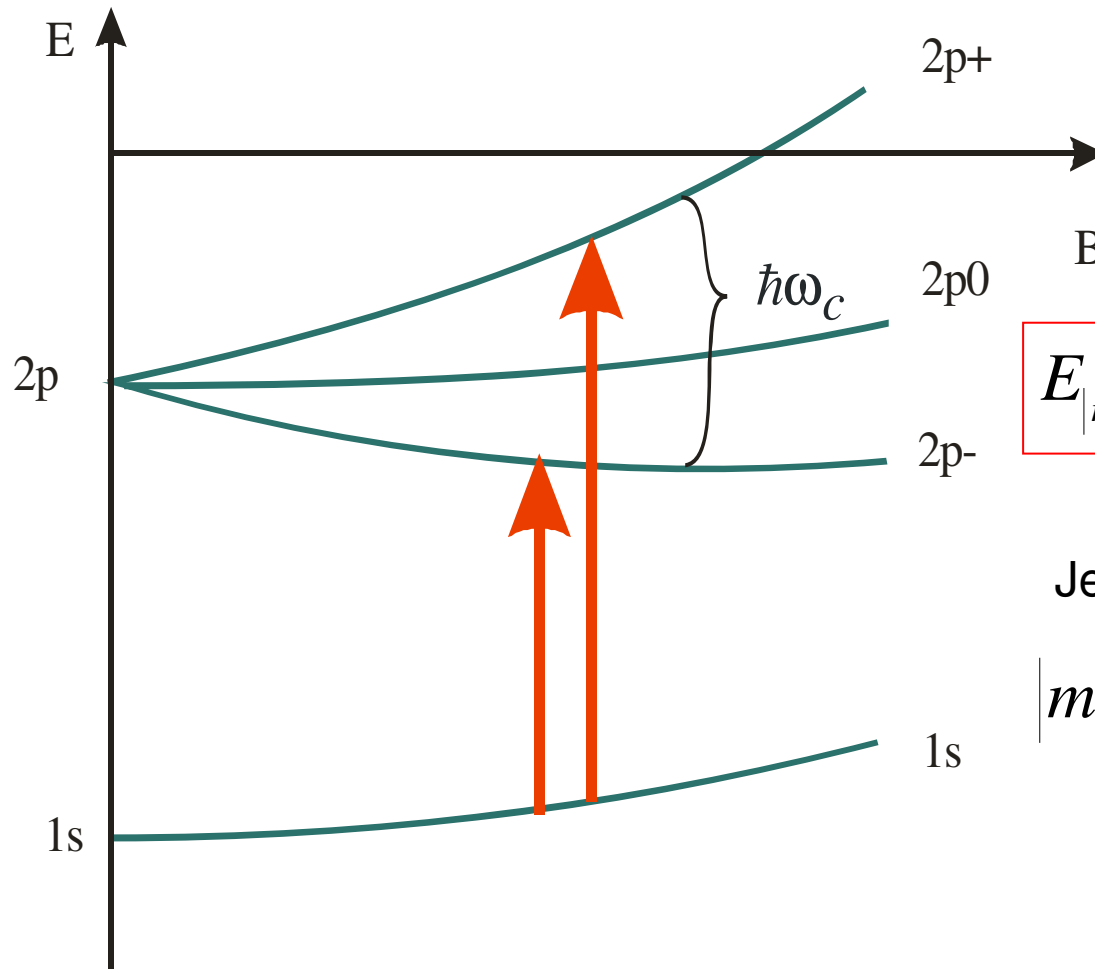
Fig. 1. Transmission spectra of an undoped GaN layer on sapphire, measured at 2K, normalised by the transmission of a sapphire slab identical to the substrate

„Far-Infrared Magnetospectroscopy of Shallow Donors in GaN”

A.M. Witowski et al., phys. stat. sol. (b) 210, 385 (1998)

Transmisja w dalekiej podczerwieni

D^0



$$E_{-|m|} = E_{|m|} - 2|m|\gamma$$



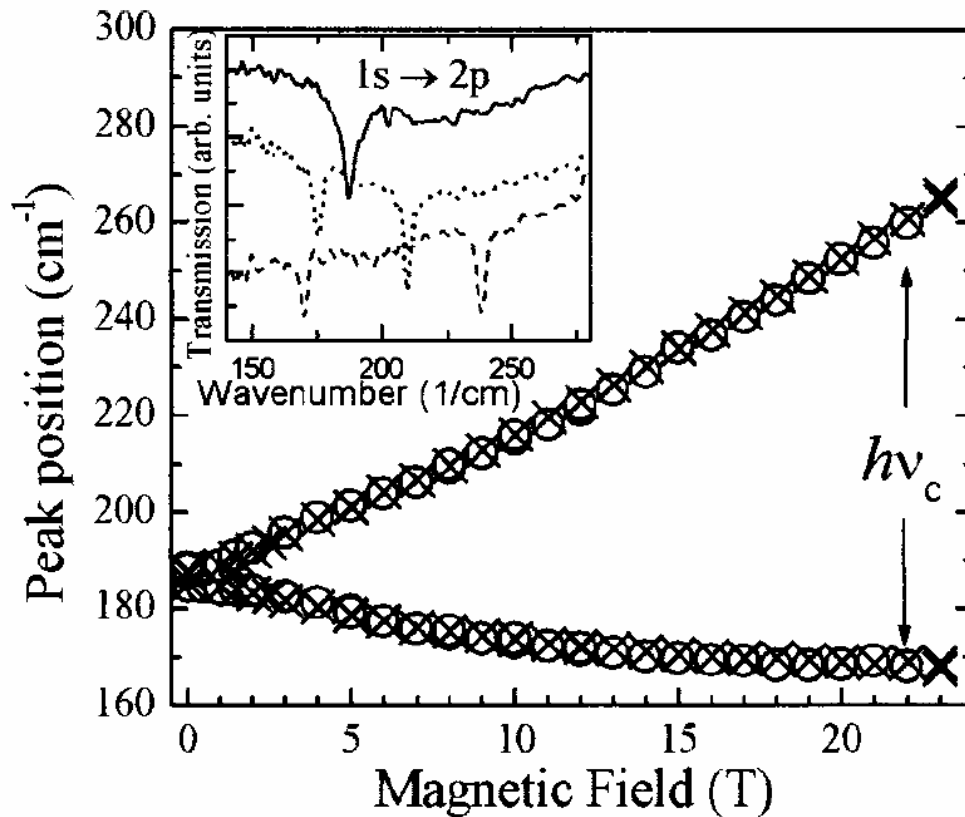
$$E_{|m|} - E_{-|m|} = 2|m|\gamma = |m|\hbar\omega_c$$

Jeśli

$$|m| = 1 \quad E_{2p+1} - E_{2p-1} = \frac{\hbar e B}{m^*}$$



Informacja o masie efektywnej!



$$m^* = 0.22 m_0$$

FIG. 1. Positions of $1s \rightarrow 2p_-$ (lower set of points) and $1s \rightarrow 2p_+$ transitions (upper set) vs external magnetic fields measured at 4.5 K. Crosses (circles) denote data for undoped (Si doped) GaN layers grown on sapphire. In the inset transmission of the doped sample normalized by the transmission of a sapphire slab is presented measured at 0 (solid line), 8 (dotted line), and 16 T (dashed line).

A. M. Witowski, K. Pakuła, J. M. Baranowski, M. L. Sadowski and P. Wyder,
 APL 75, 4154 (1999)

Zobaczyć funkcję falową donora – np. przy użyciu mikroskopu tunelowego

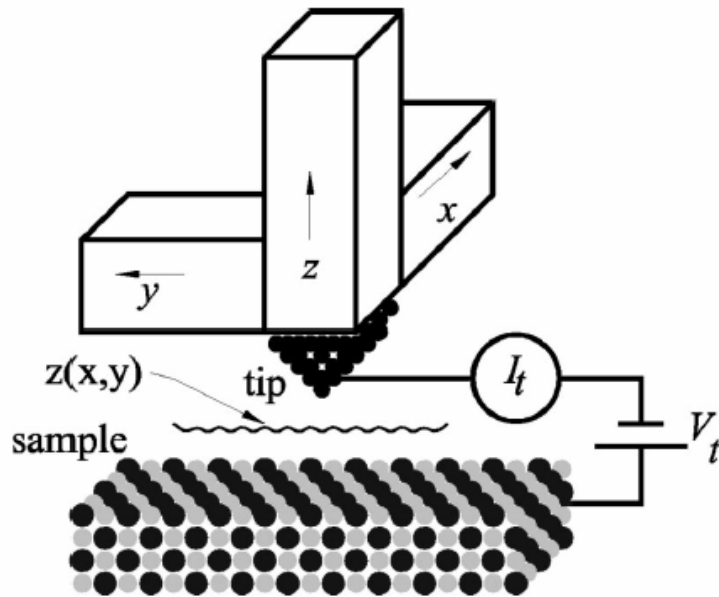


FIG. 2. A scanning tunneling microscope (schematic).

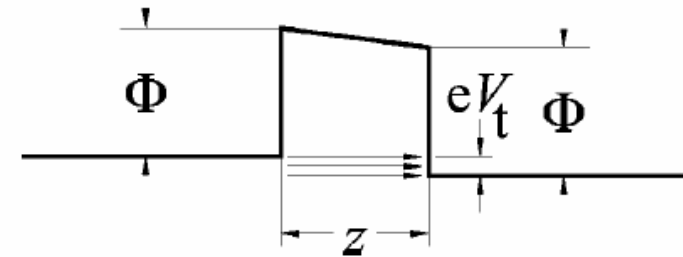


FIG. 3. Energy diagram of an idealized tunneling gap. The image charge effect (see Chen, 1993) is not taken into account here.

a width z and a height given by the work function Φ . According to elementary quantum mechanics, the tunneling current is given by

$$I_t(z) = I_0 e^{-2\kappa_t z}, \quad (1)$$

STM

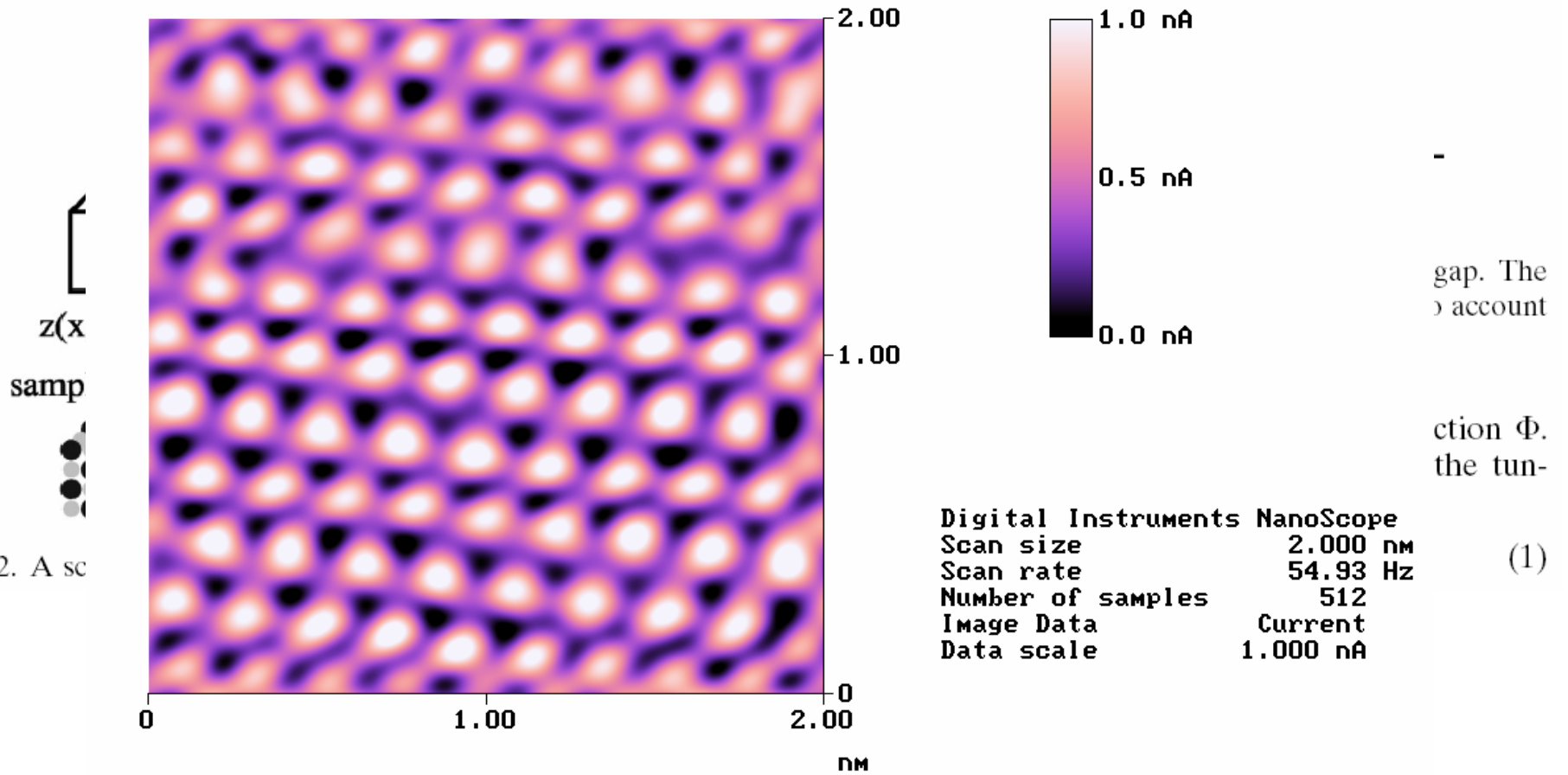


FIG. 2. A sc

grafit1.001

Igły muszą być ostre...

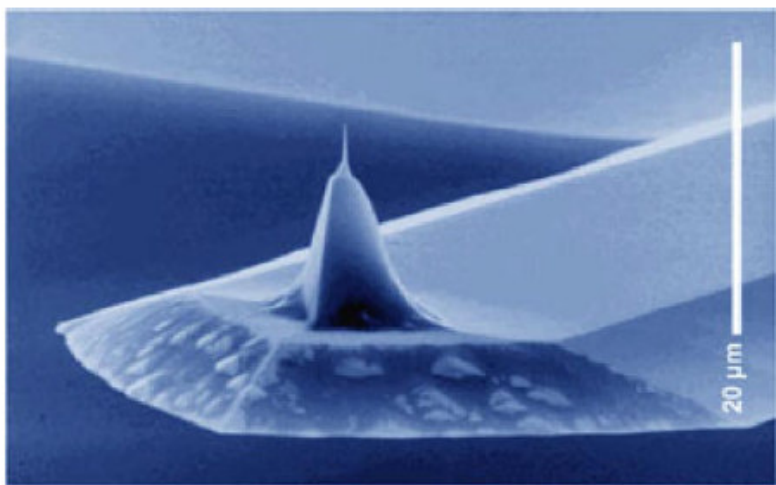


FIG. 8. (Color in online edition) Scanning electron micrograph of a micromachined silicon cantilever with an integrated tip pointing in the [001] crystal direction (Wolter *et al.*, 1991). This is a Pointprobe sensor made by Nanosensors GmbH und Co. KG, Norderfriedrichskoog, Germany D-25870. Photo courtesy of Nanosensors GmbH & Co. KG.

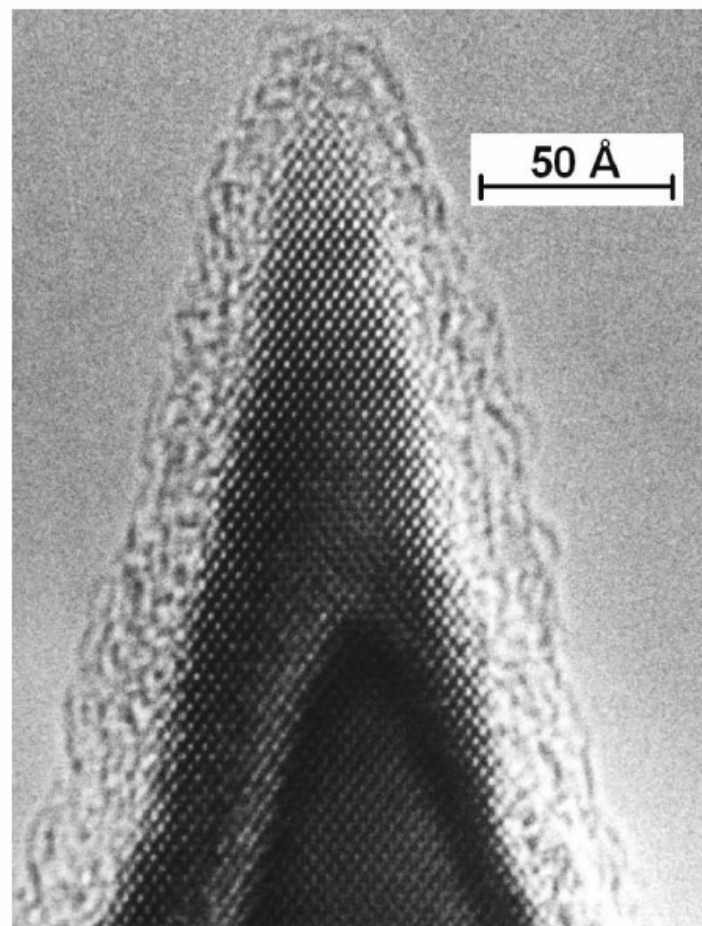


FIG. 13. Transmission electron micrograph of an extremely sharp silicon tip. The native oxide has been etched away with hydrofluoric acid before imaging. The 15–20-Å-thick coating of the tip is mostly due to hydrocarbons which have been polymerized by the electron beam. Interestingly, the crystal structure appears to remain bulklike up to the apex of the tip. From Marcus *et al.*, 1990.

Scanning Tunneling Microscopy Studies of Si Donors (Si_{Ga}) in GaAs

J. F. Zheng,^{1,2} X. Liu,¹ N. Newman,¹ E. R. Weber,^{1,2} D. F. Ogletree,² and M. Salmeron²

¹Department of Materials Science, University of California at Berkeley, Berkeley, California 94720

²Materials Science Division, Lawrence Berkeley Laboratory, Berkeley, California 94720

(Received 26 July 1993)

We report scanning tunneling microscopy (STM) studies of Si substitutional donors (Si_{Ga}) in GaAs that reveal delocalized and localized electronic features corresponding to Si_{Ga} in the top few layers of the (110) cleavage surface. The delocalized features appear as protrusions a few nm in size, superimposed on the background lattice. These features are attributed to enhanced tunneling due to the local perturbation of the band bending by the Coulomb potential of subsurface Si_{Ga} . In contrast, STM images of surface Si_{Ga} show very localized electronic structures, in good agreement with a recent theoretical prediction [J. Wang *et al.*, Phys. Rev. B **47**, 10329 (1993)].

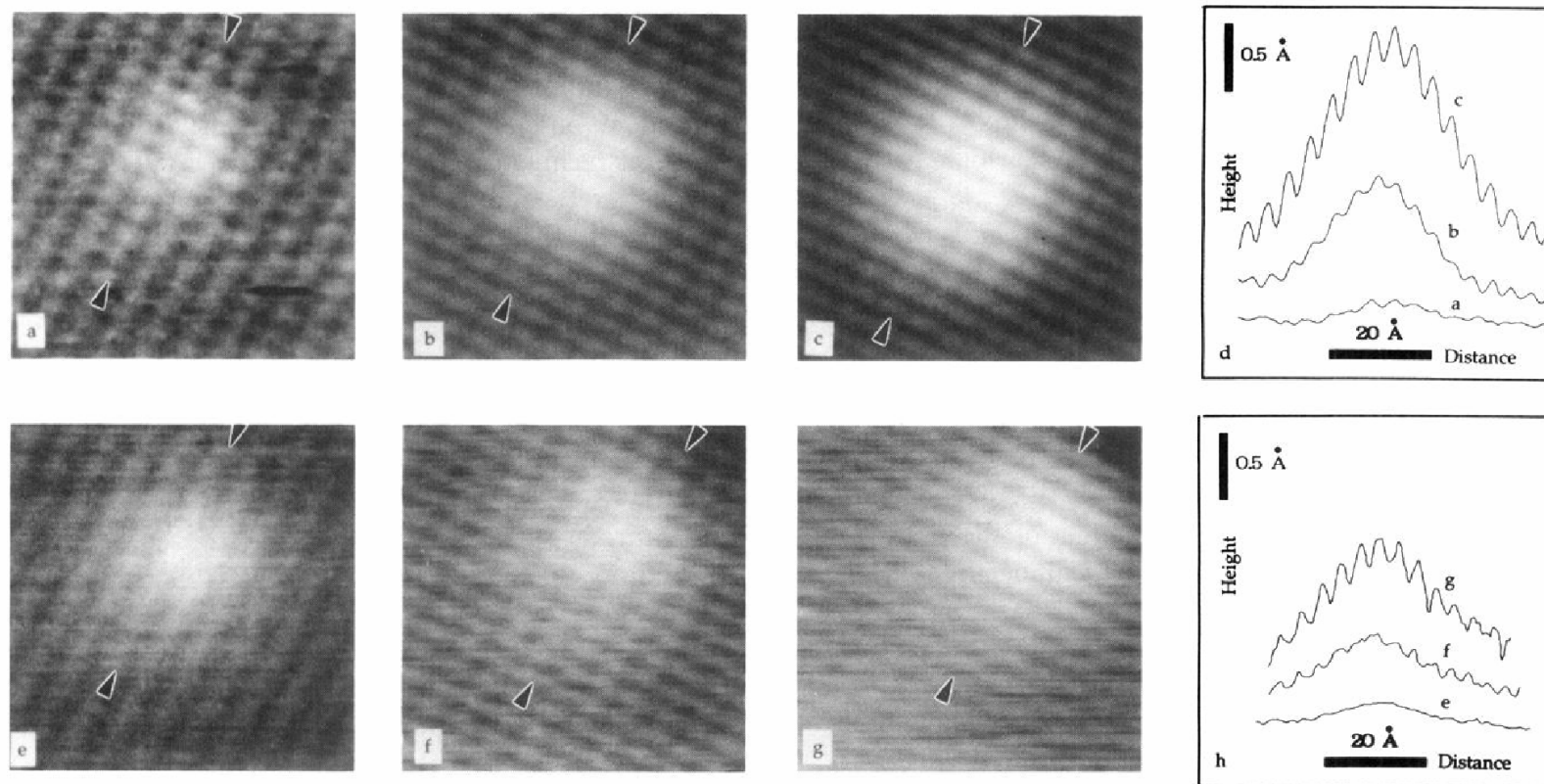
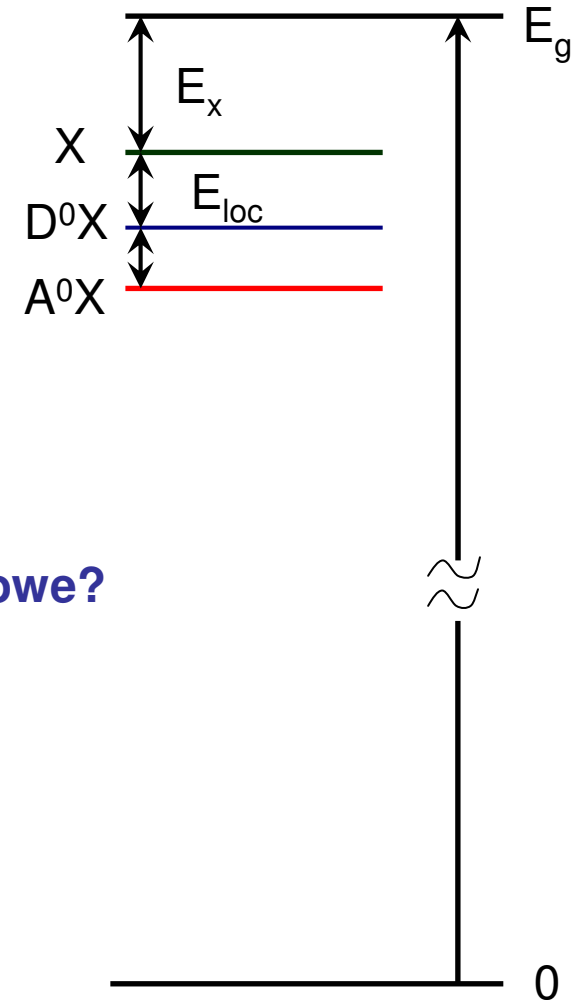


FIG. 3. STM images of the protrusion region *D* in Fig. 1 taken with tunneling current of 0.5 nA at various sample voltages. The sample voltages are (a) -3 V; (b) -2.0 V; (c) -1.5 V; (e) $+3.0$ V; (f) $+2.0$ V; and (g) $+1.5$ V. The topographic profiles along the $[1\bar{1}0]$ direction (indicated by the arrows) across the features are shown in (d) and (h). All images are $60 \text{ \AA} \times 60 \text{ \AA}$ in size.

Przegląd kompleksów ekscytonowych

Ekscyton związany

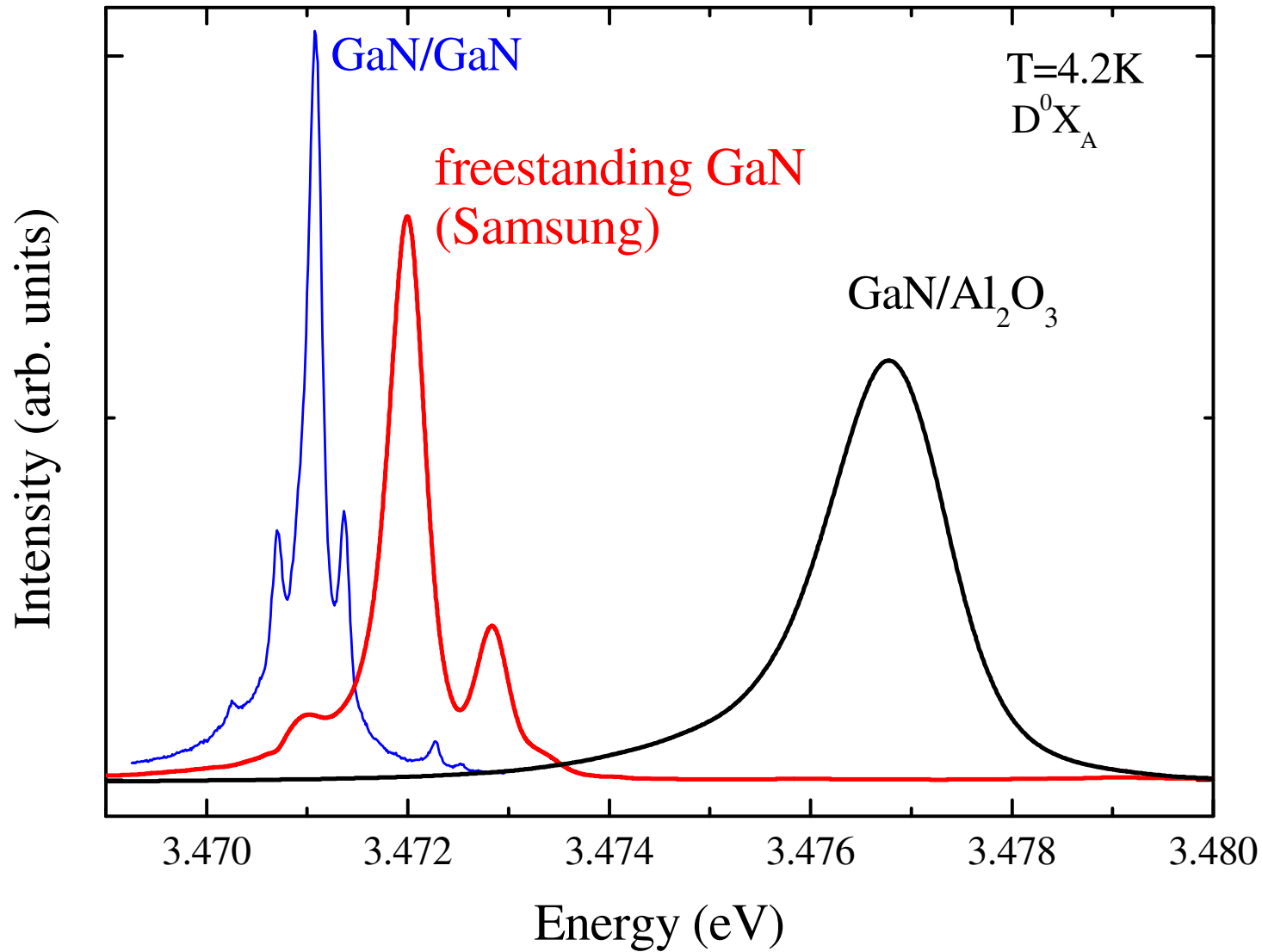
- na neutralnym donorze D^0X
- na neutralnym akceptorze A^0X
- na zjonizowanym donorze D^+X
- na zjonizowanym akceptorze A^-X



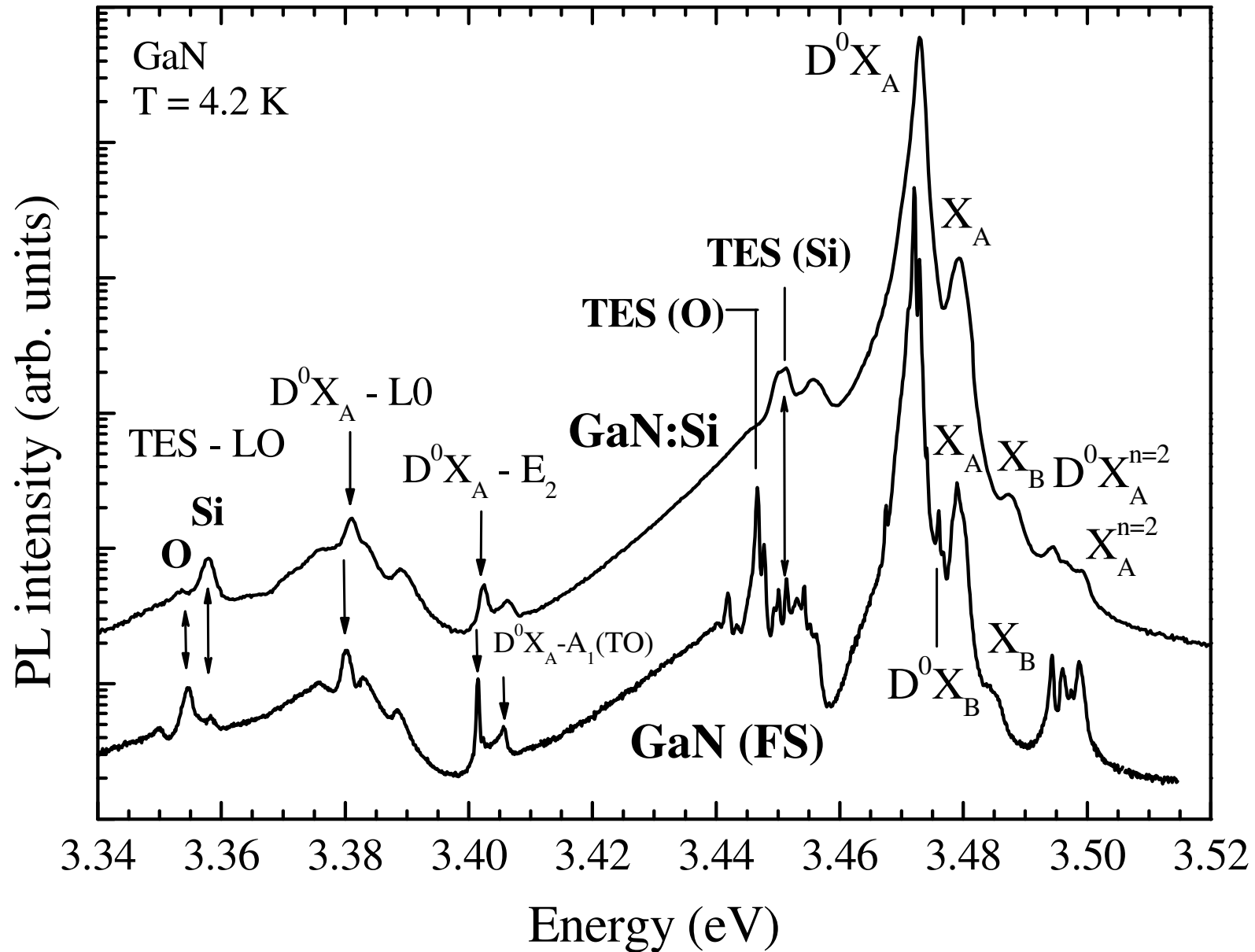
Jak zidentyfikować poszczególne linie ekscytonowe?

Nie jest to łatwe!

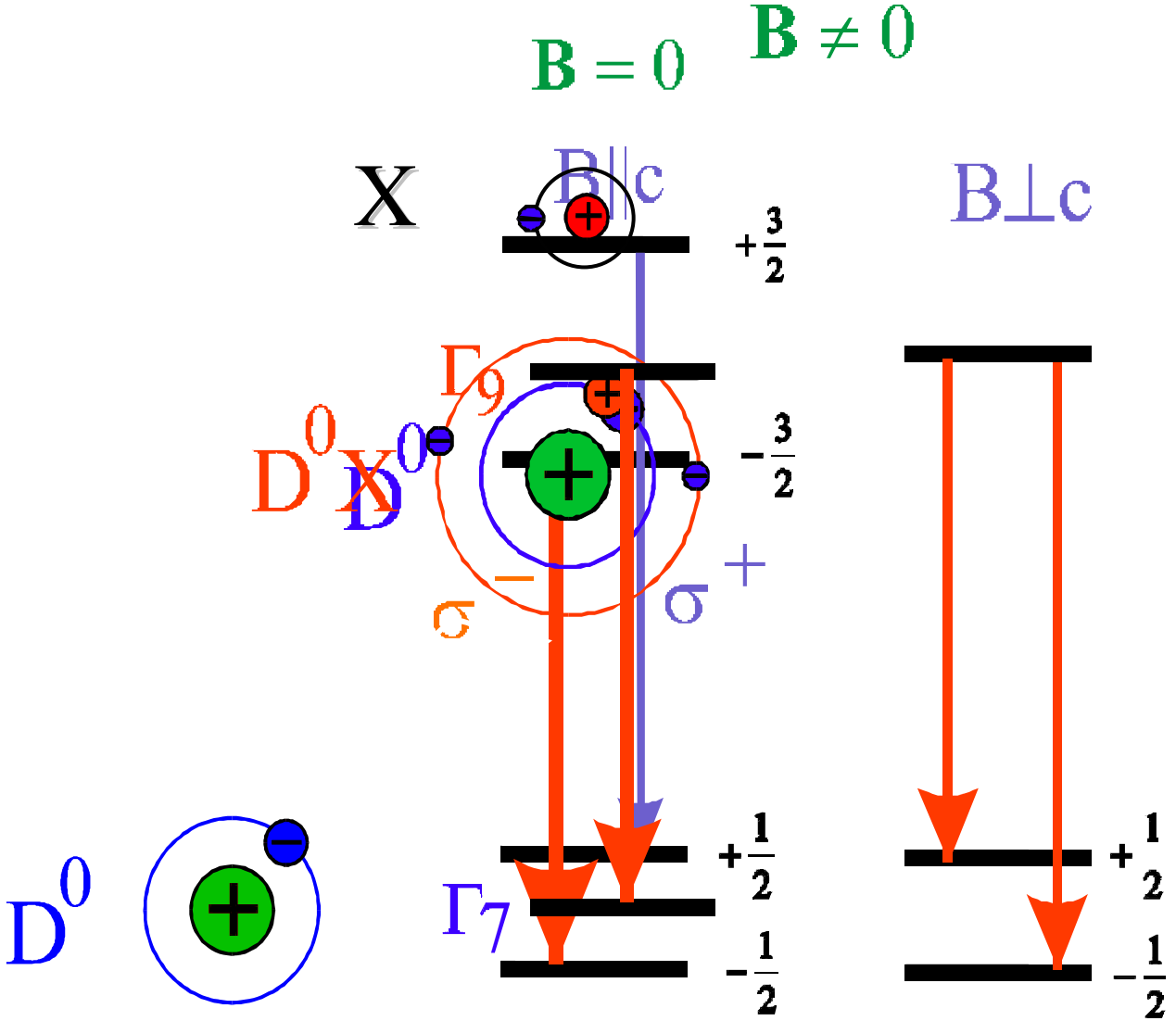
Luminescencja ekscytonowa w GaN



Donor tlenowy donor krzemowy



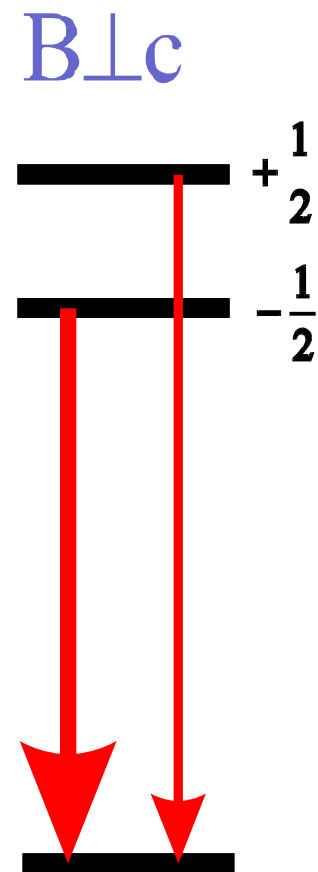
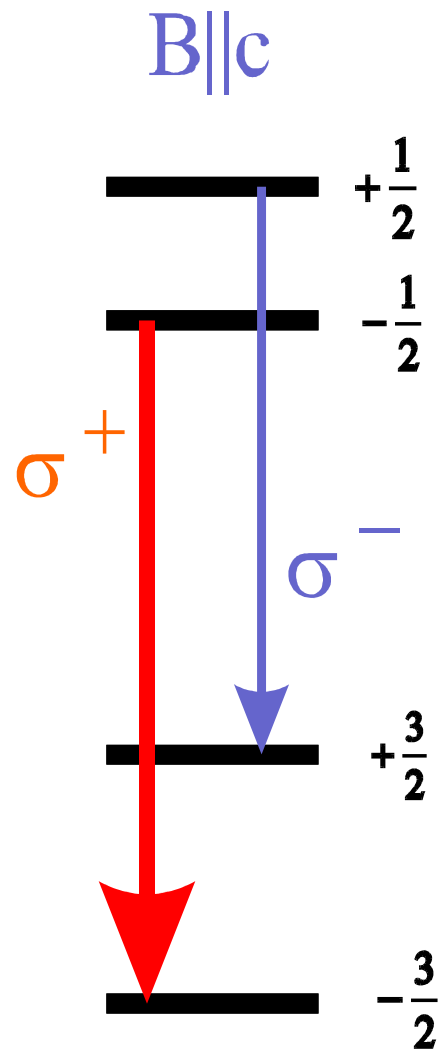
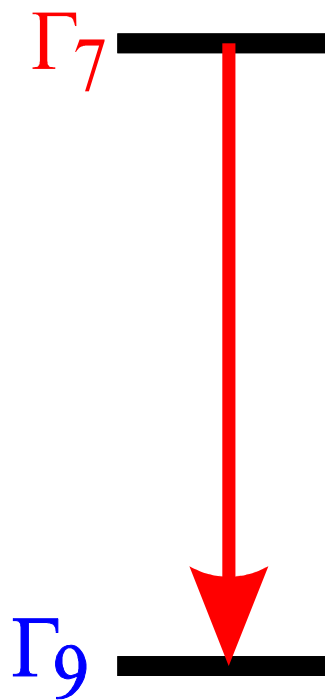
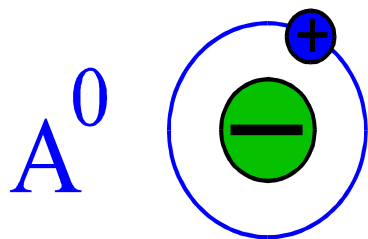
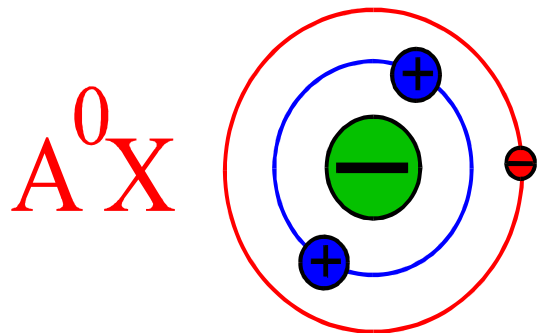
Ekscyton związany na neutralnym donorze (D^0X)



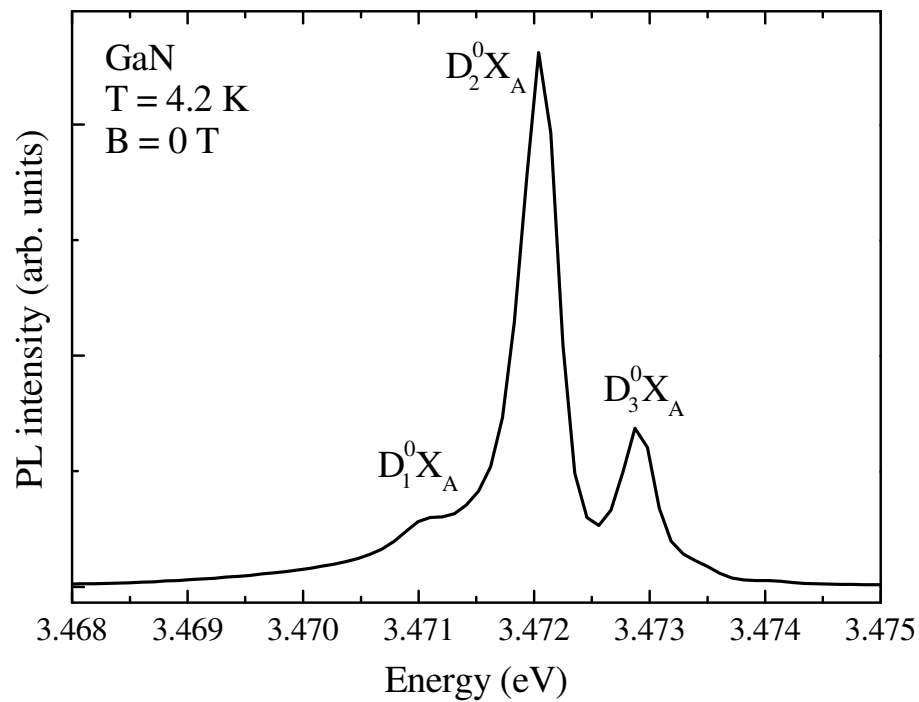
Ekscyton związany na neutralnym akceptorze

$B = 0$

$B \neq 0$



Rozszczepienia spinowe – konfiguracja $B_{\perp c}$

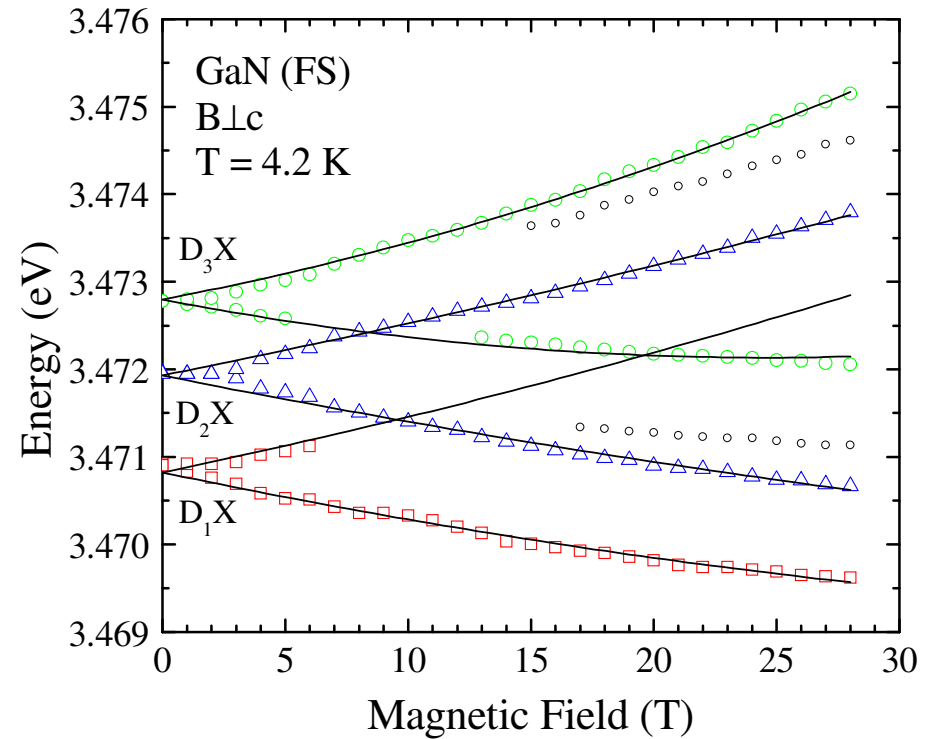


$D_1^0X_A - O_N$

$D_2^0X_A - Si_{Ga}$

$D_3^0X_A - ?(V_N)$

Wysmolek et al. PRB 66, 245317 (2002)

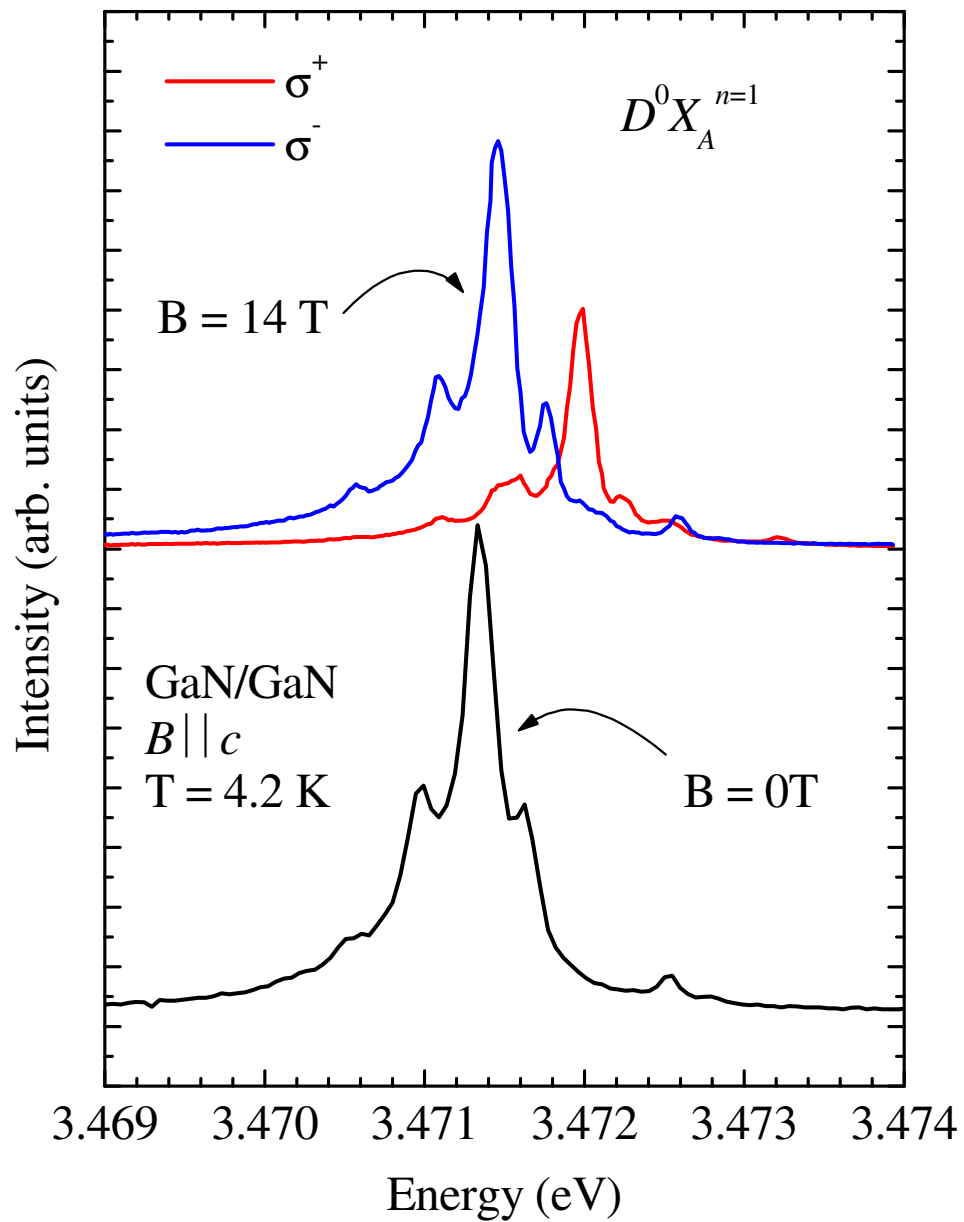


~~$D_1^0X_A - D^+X$~~

$D_2^0X_A - O_N$

$D_3^0X_A - Si_{Ga}$

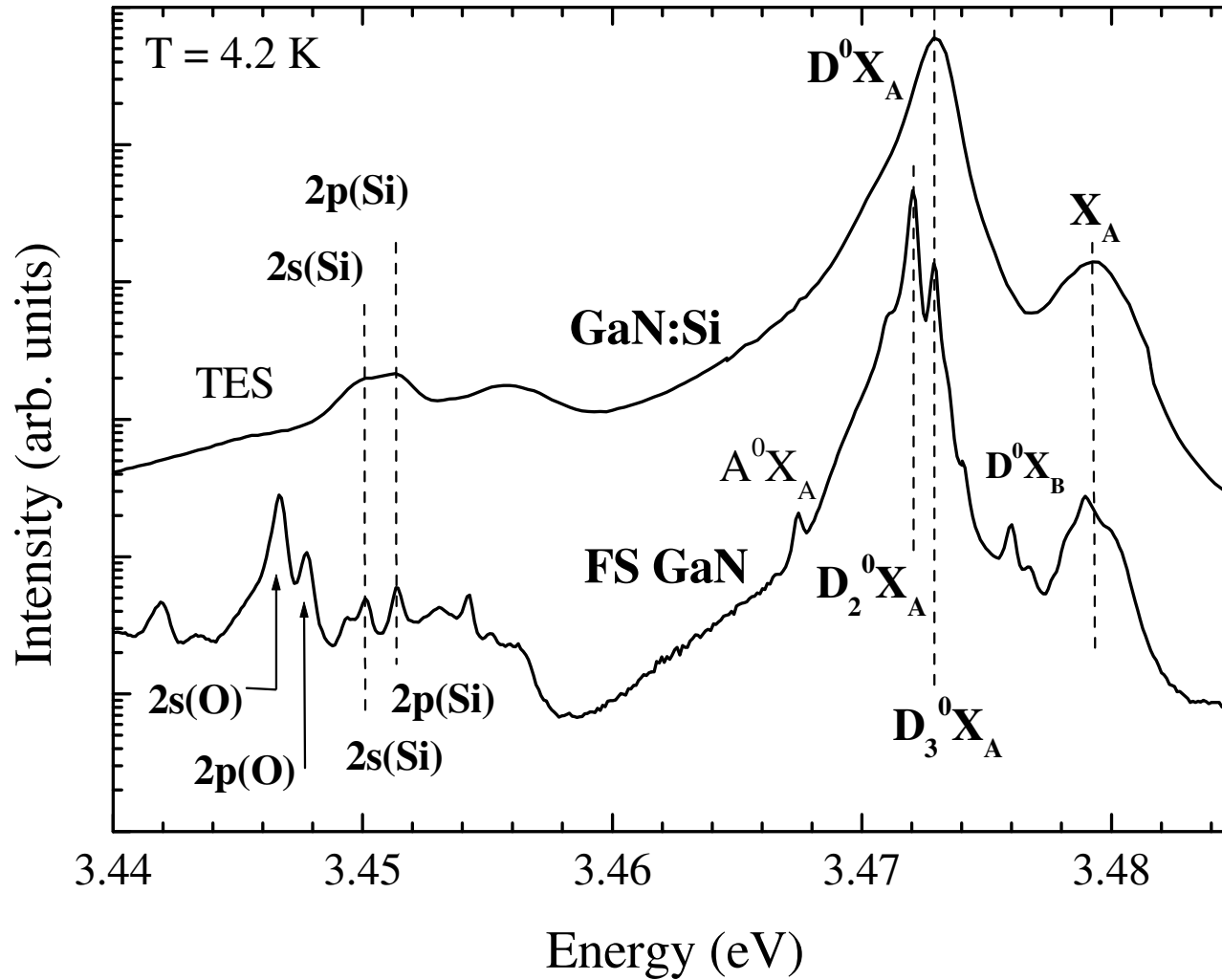
A. Freitas, Jr., PRB 66, 233311 (2002).



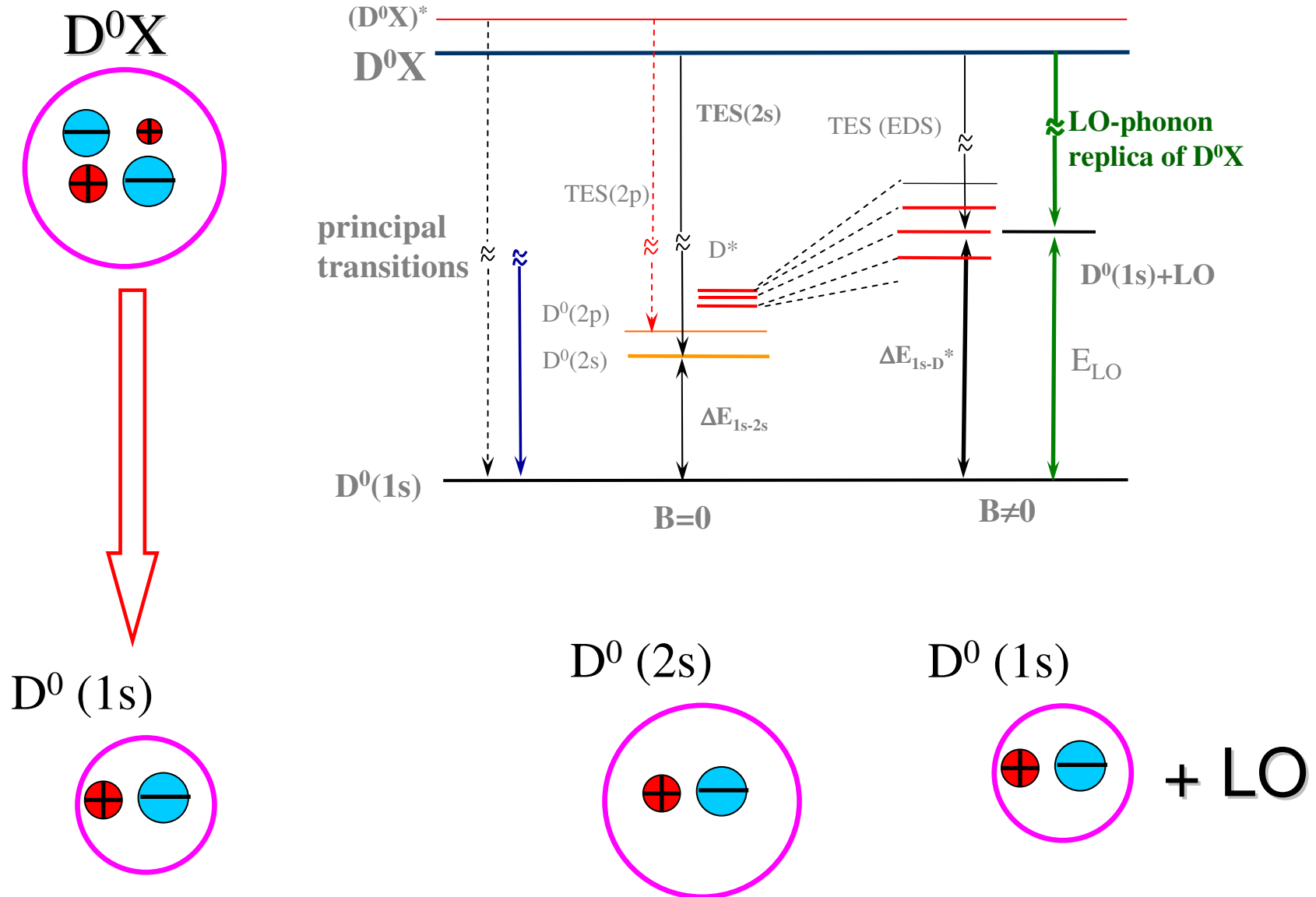
Konfiguracja B || c

➔ Zachowanie typowe dla $D^0 X$!

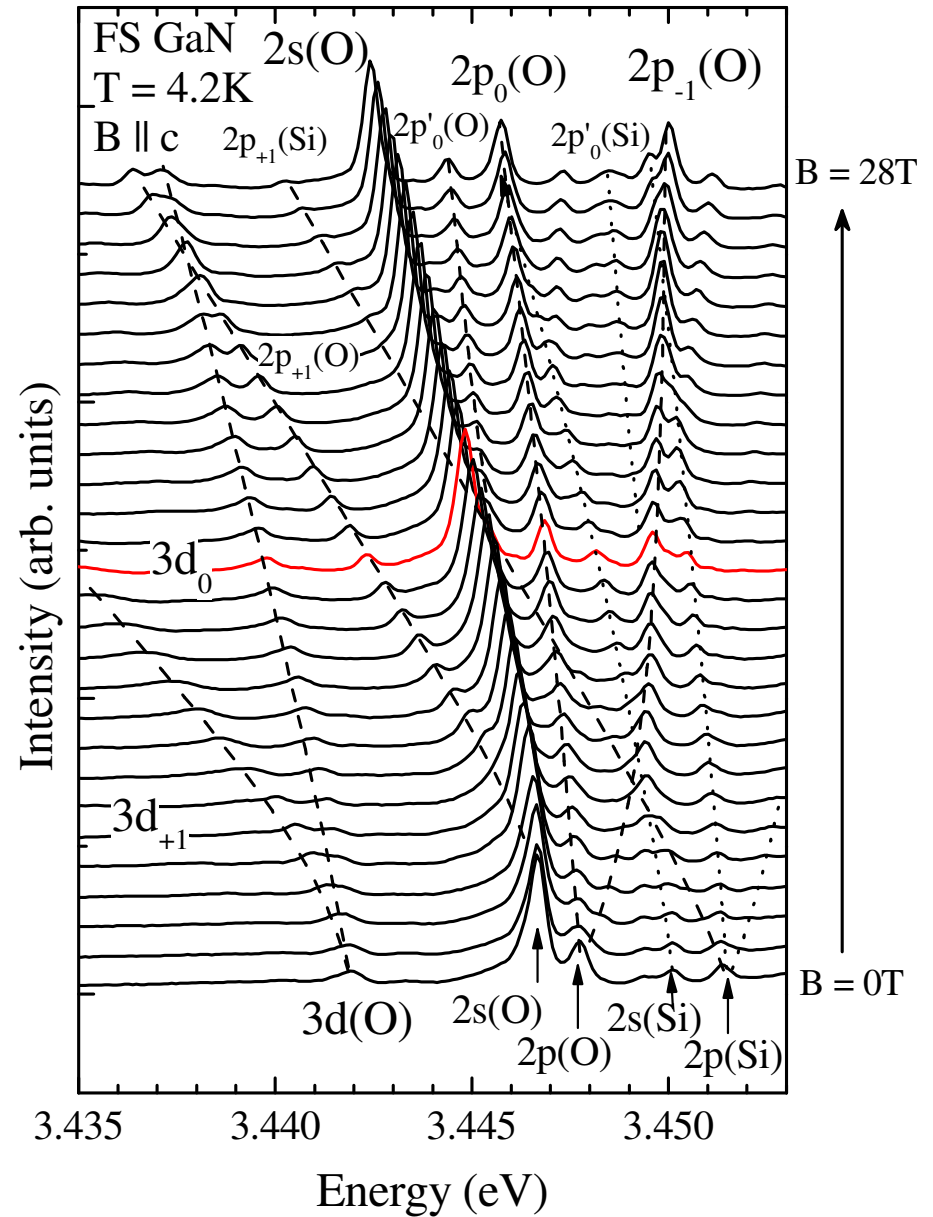
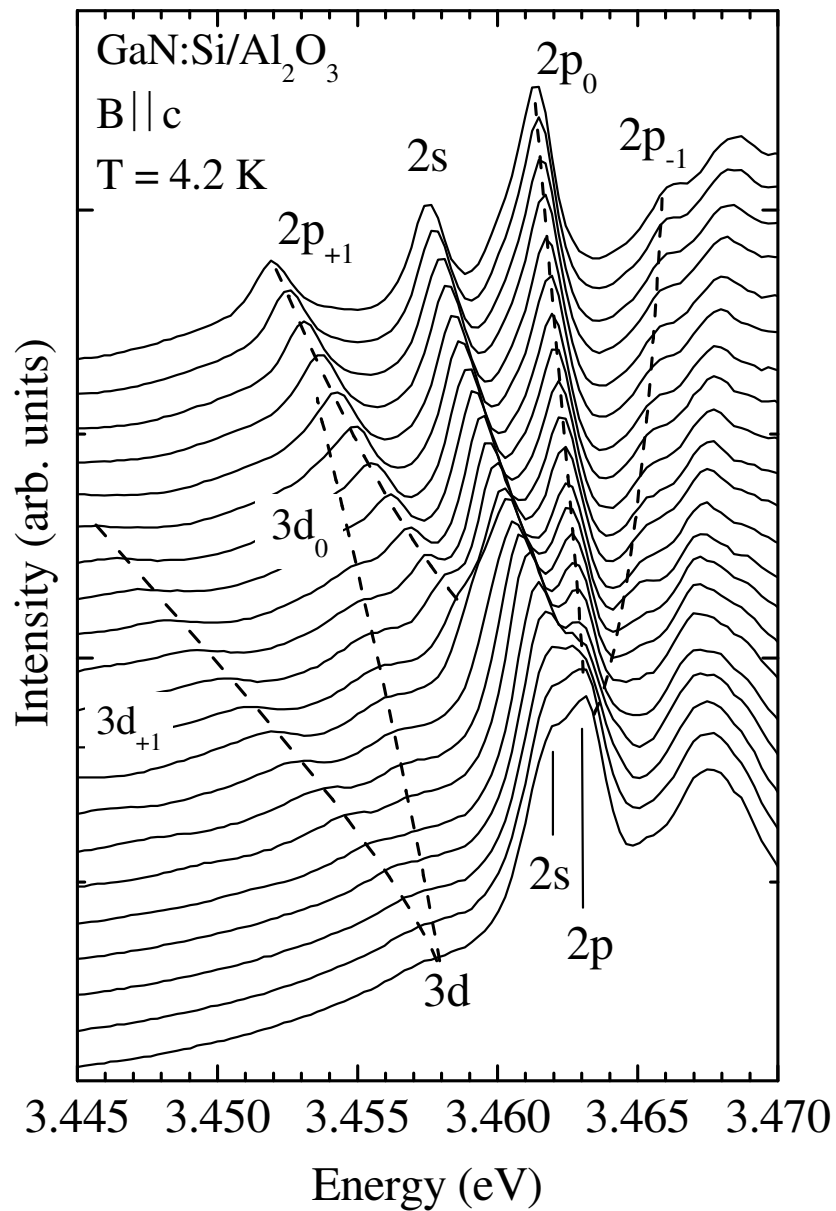
Rozróżniamy donory o różnych energiach wiązania...



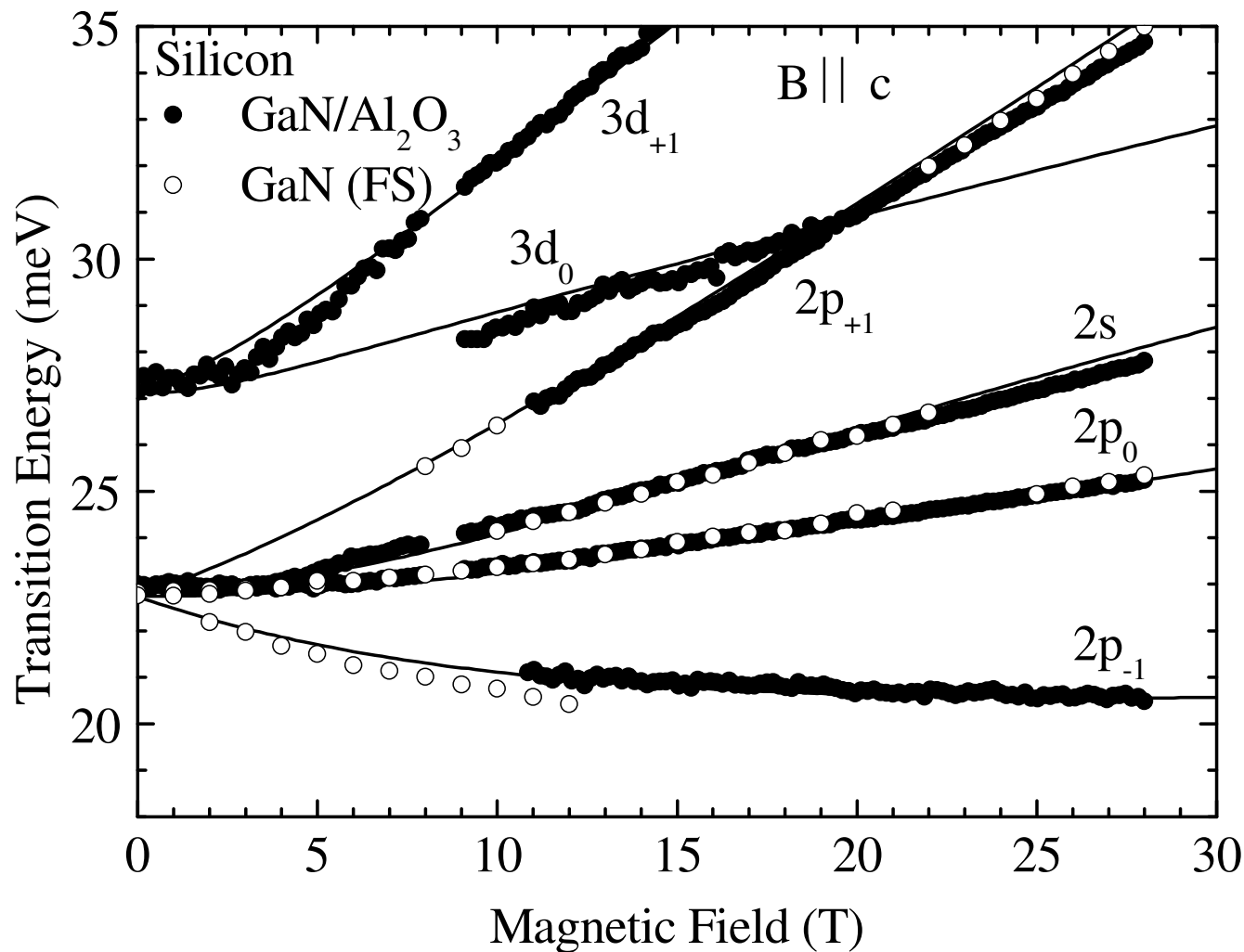
Different recombination channels of D^0X



Identyfikujemy przejścia używając pola magnetycznego



Donor krzemowy



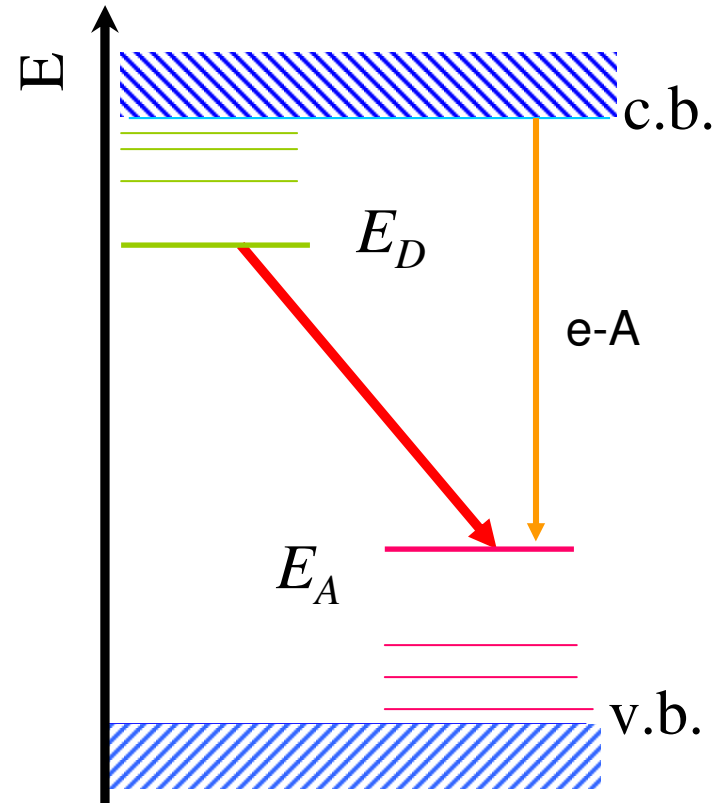
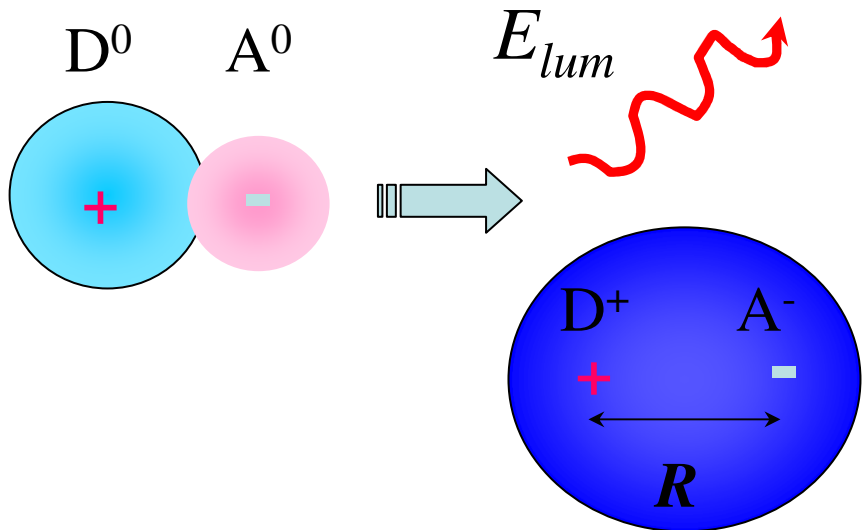
$$R_y = 30.28(5) \text{ meV}$$

$$\Delta_{1s} = 0$$

$$E_b = 30.28 \text{ meV}$$

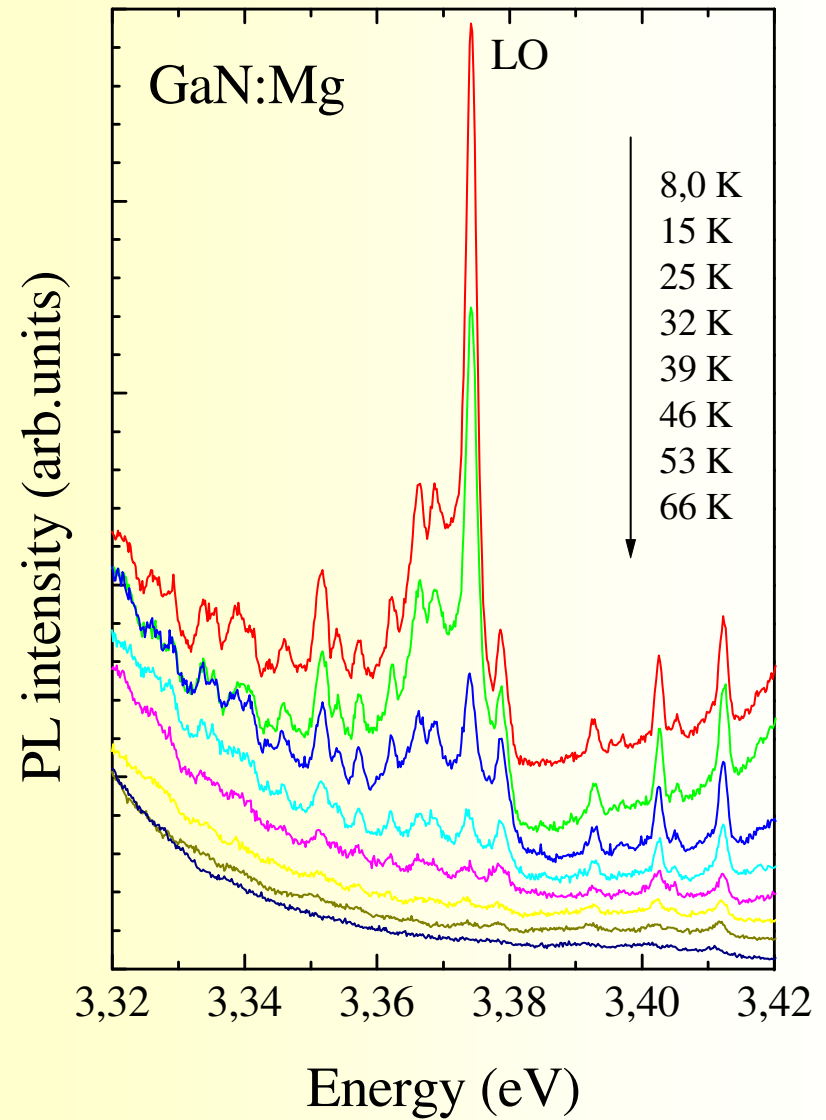
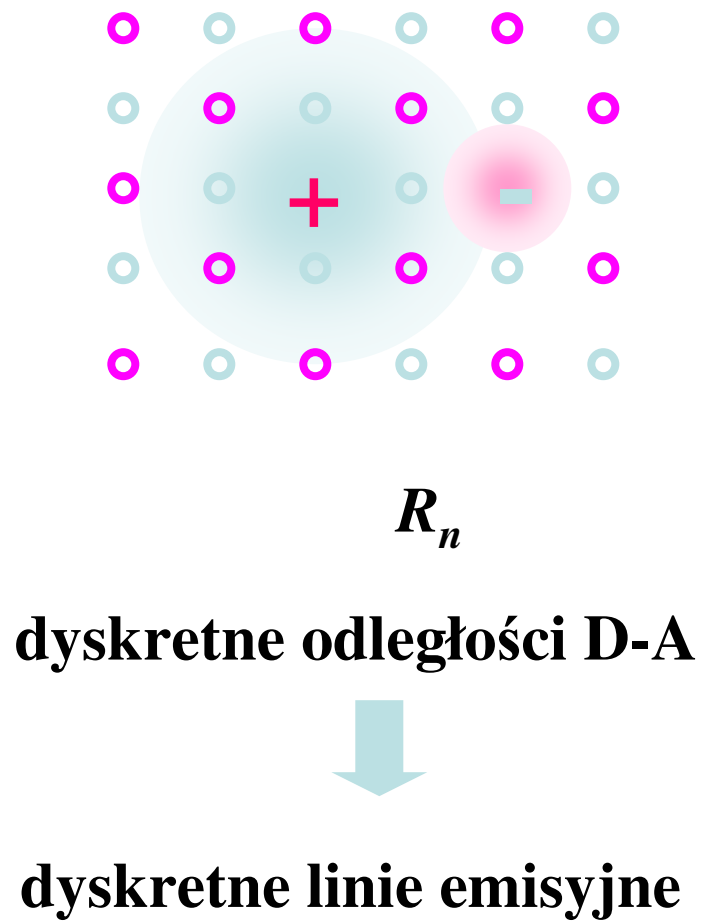
$$m^* = 0.214 m_0$$

Pary donor-akceptor

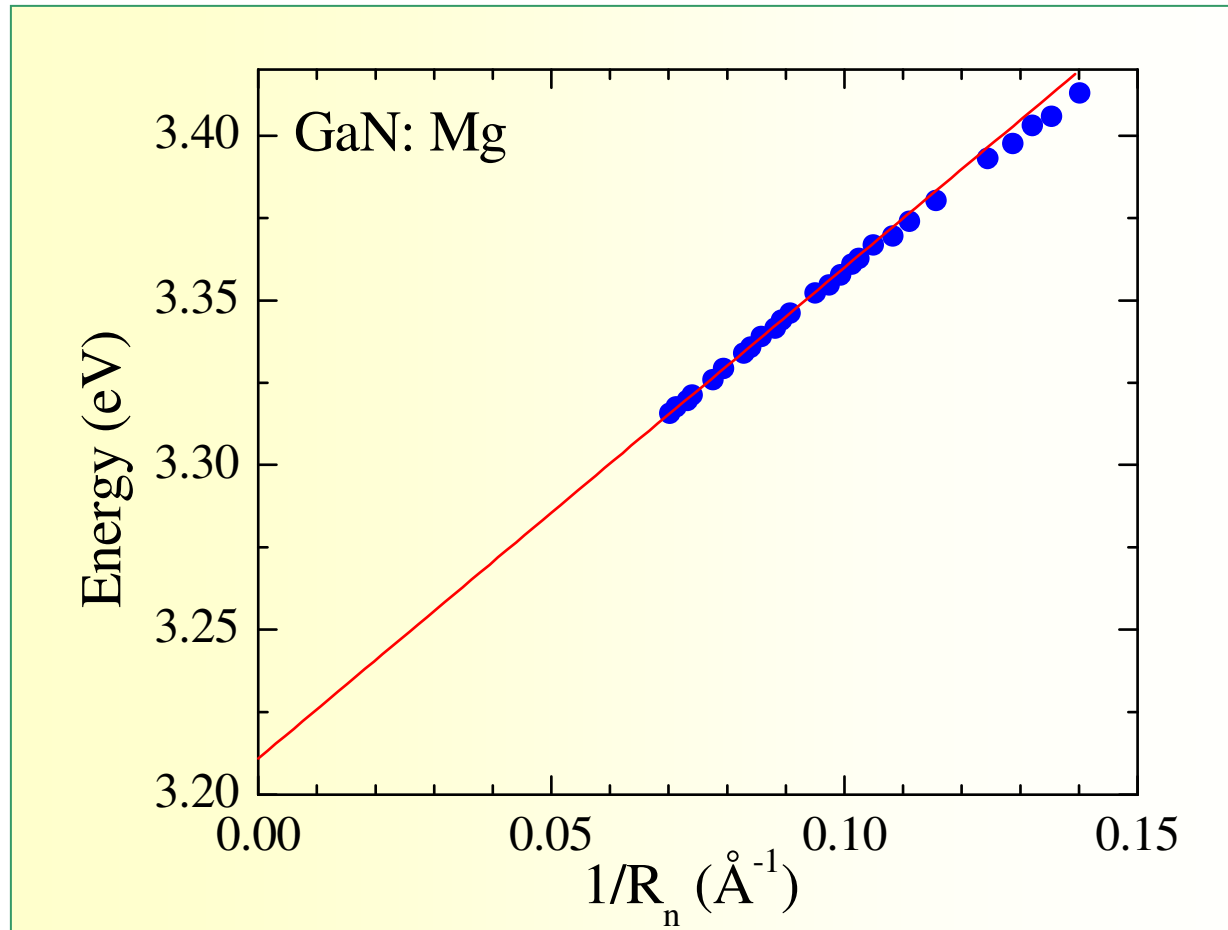


$$E_{lum} = E_g - E_A - E_D + e^2/(\epsilon R)$$

Emisja par donor-akceptor



Emisja par donor-akceptor w GaN



$$E_{lum} = E_g - E_A - E_D + e^2/(4\pi \epsilon_0 \epsilon_s R_n) \quad \longrightarrow \quad E_D, E_A, \epsilon_s$$

„Historyczne” widma par w GaP

A272

THOMAS, GERSHENZON, AND TRUMBORE

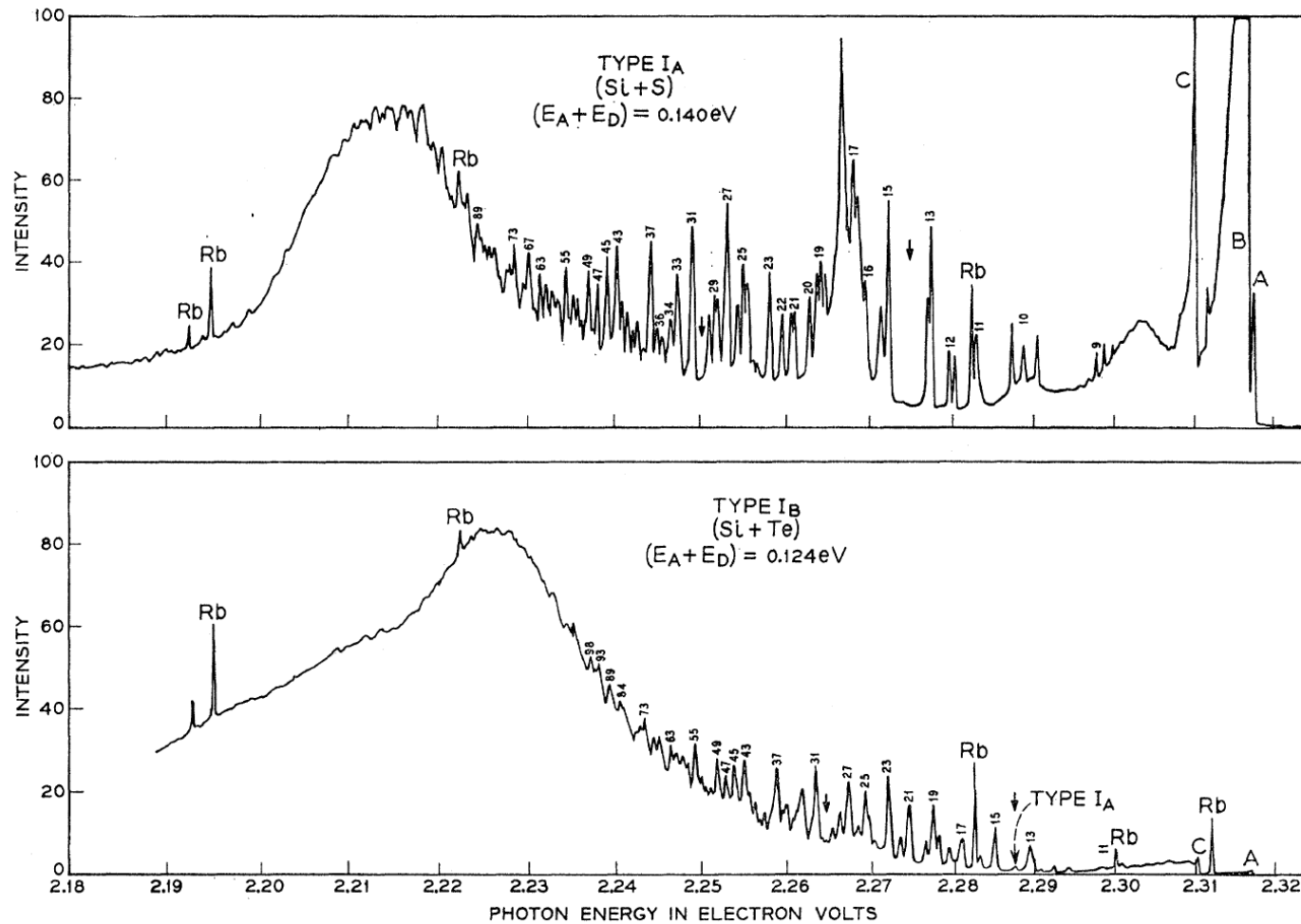
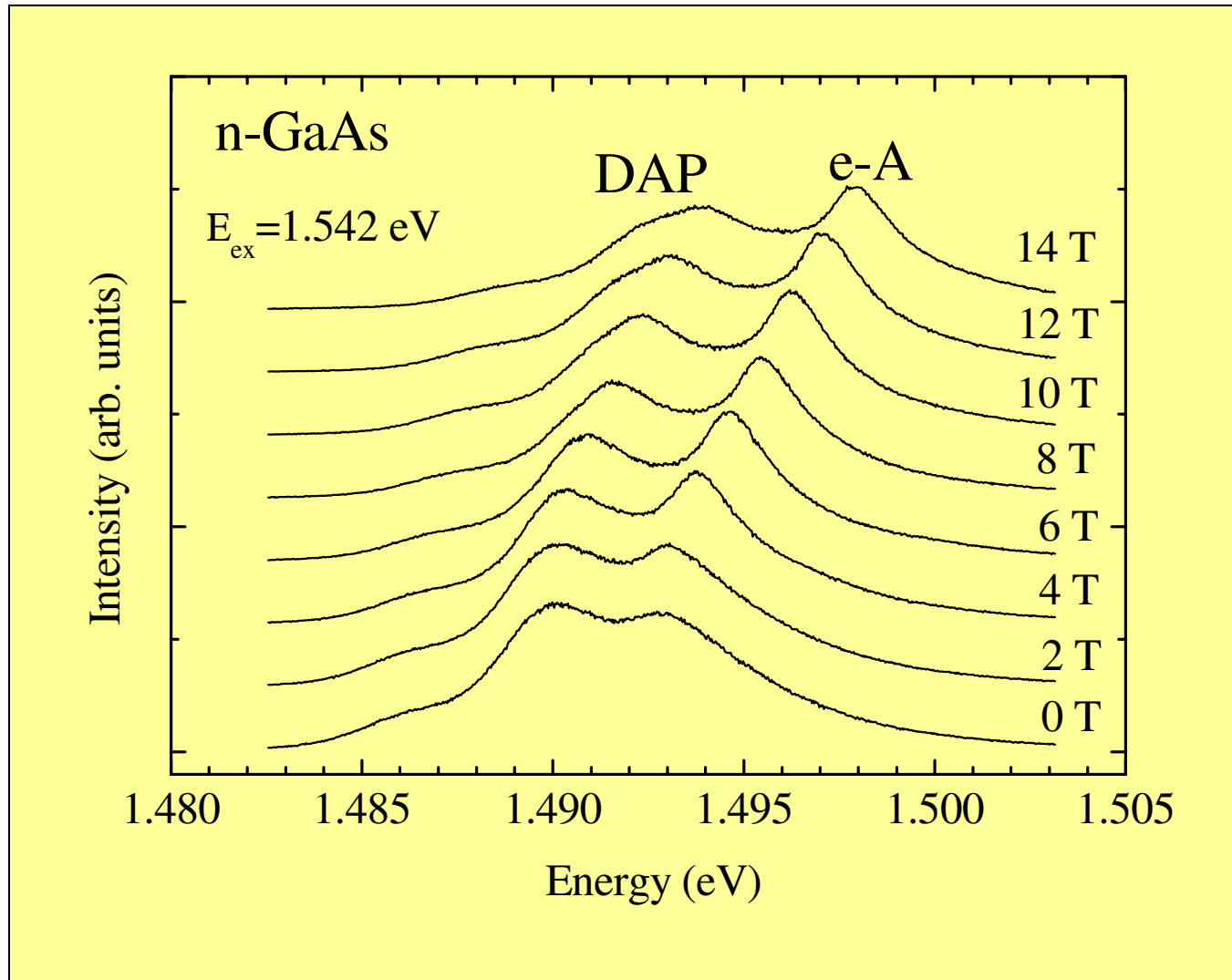


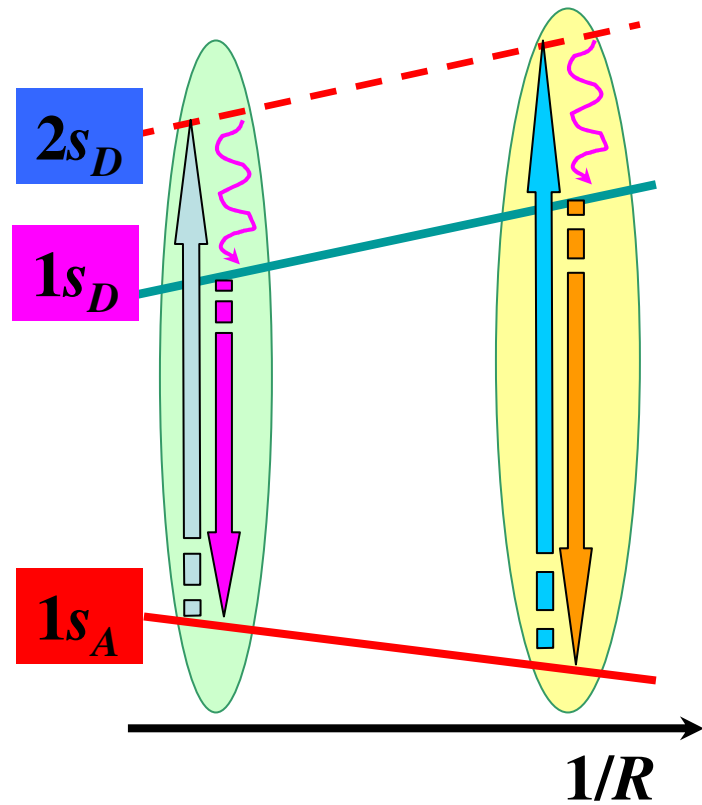
FIG. 2. The photoluminescent spectra (on arbitrary scales) of type I_A and I_B crystals taken at 1.6°K. The lines marked Rb are rubidium calibration lines. The small numbers indicate the shell numbers of the pair spectra. A, B, and C are bound exciton lines. The arrows indicate some positions for which $N(r)=0$, and mark a gap in the spectra. The type I_A crystals are grown without the addition of impurities; the I_B crystals are produced by adding Te.

Luminescencja par donor-akceptor w GaAs

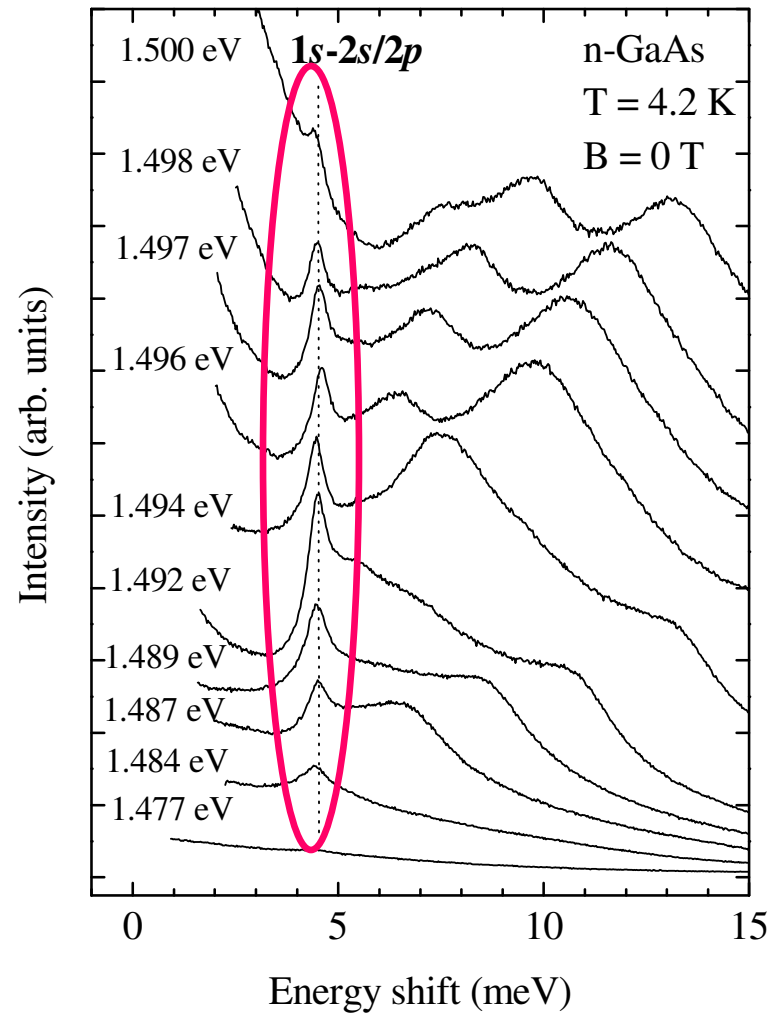
Szerokie linie luminescencyjne! Czy z tego można coś wydobyć?



Selective excitation



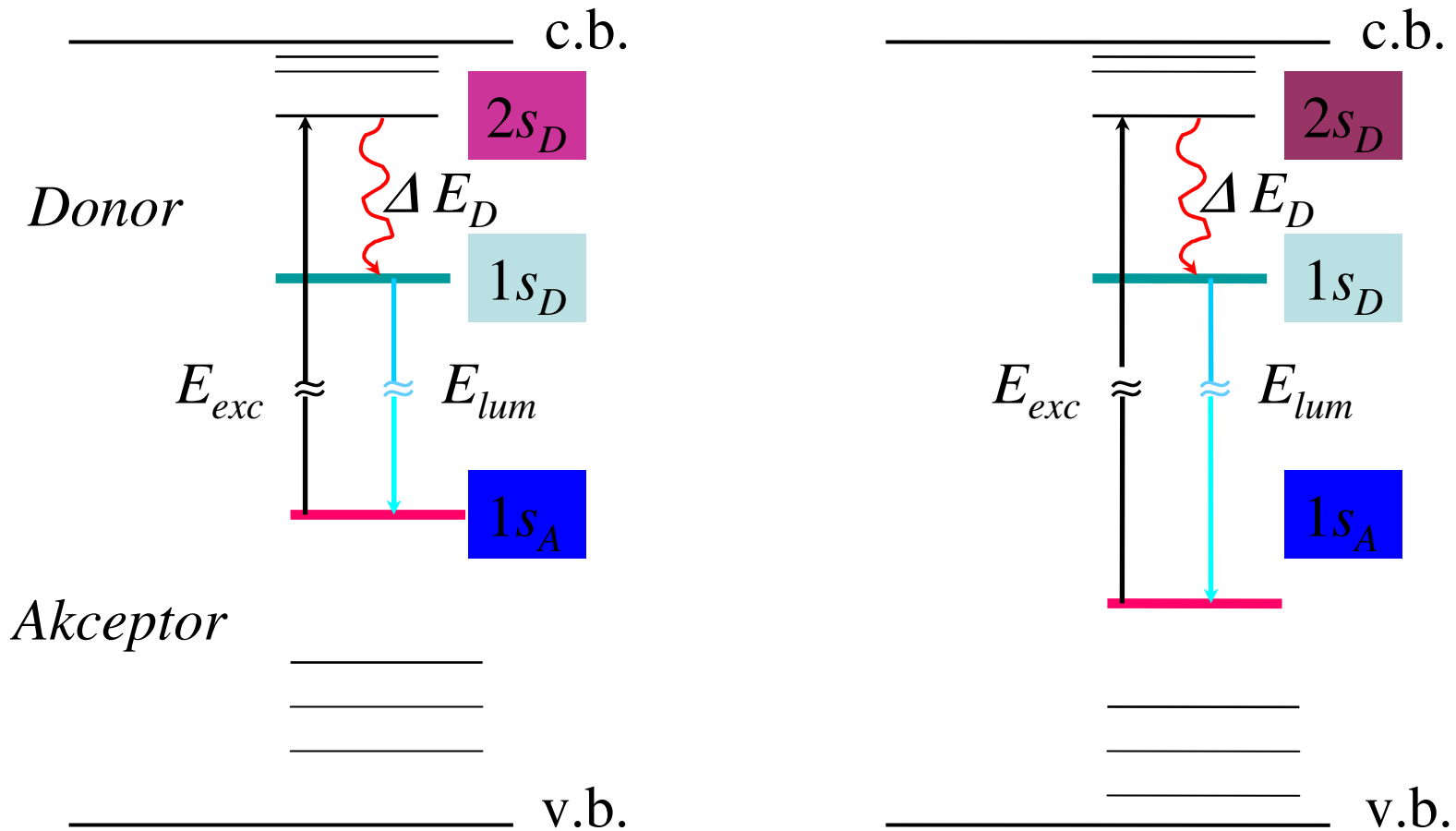
$$E_{exc} - E_{lum} = \Delta E_D$$



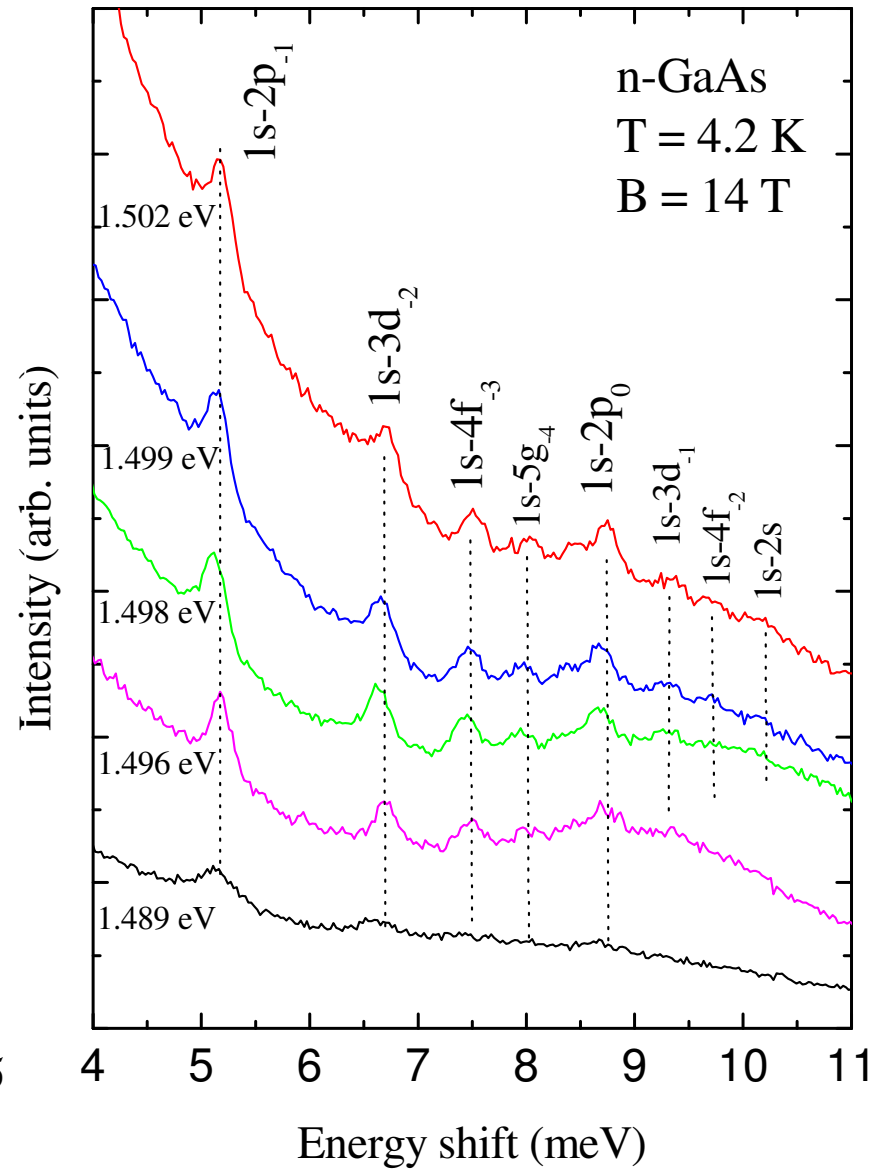
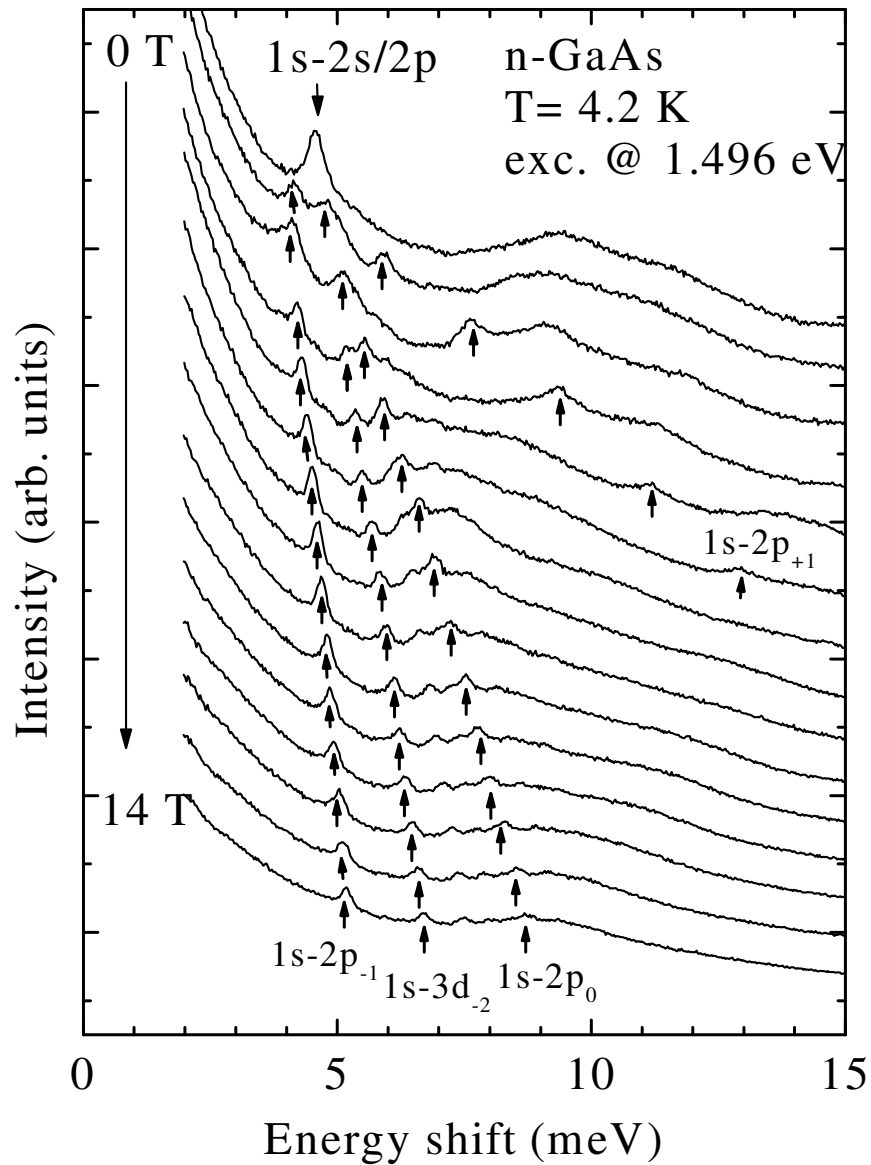
Selektywna spektroskopia par donor-akceptor

$$E_{lum} = E_g - E_A - E_D + e^2/(4\pi \epsilon_0 \epsilon_s R_n)$$

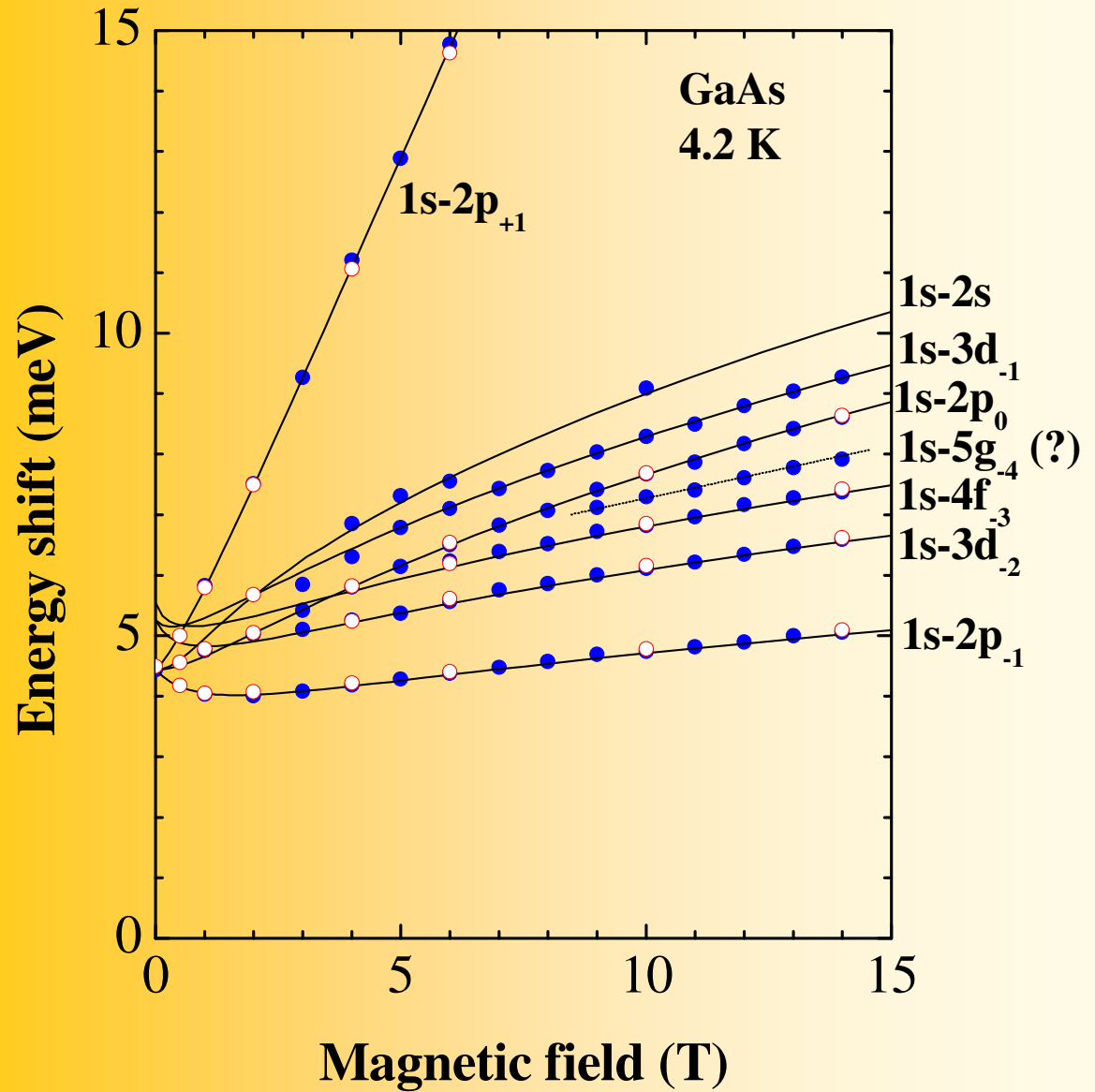
$$R_1 > R_2$$



SPL w polu magnetycznym



Donor w GaAs

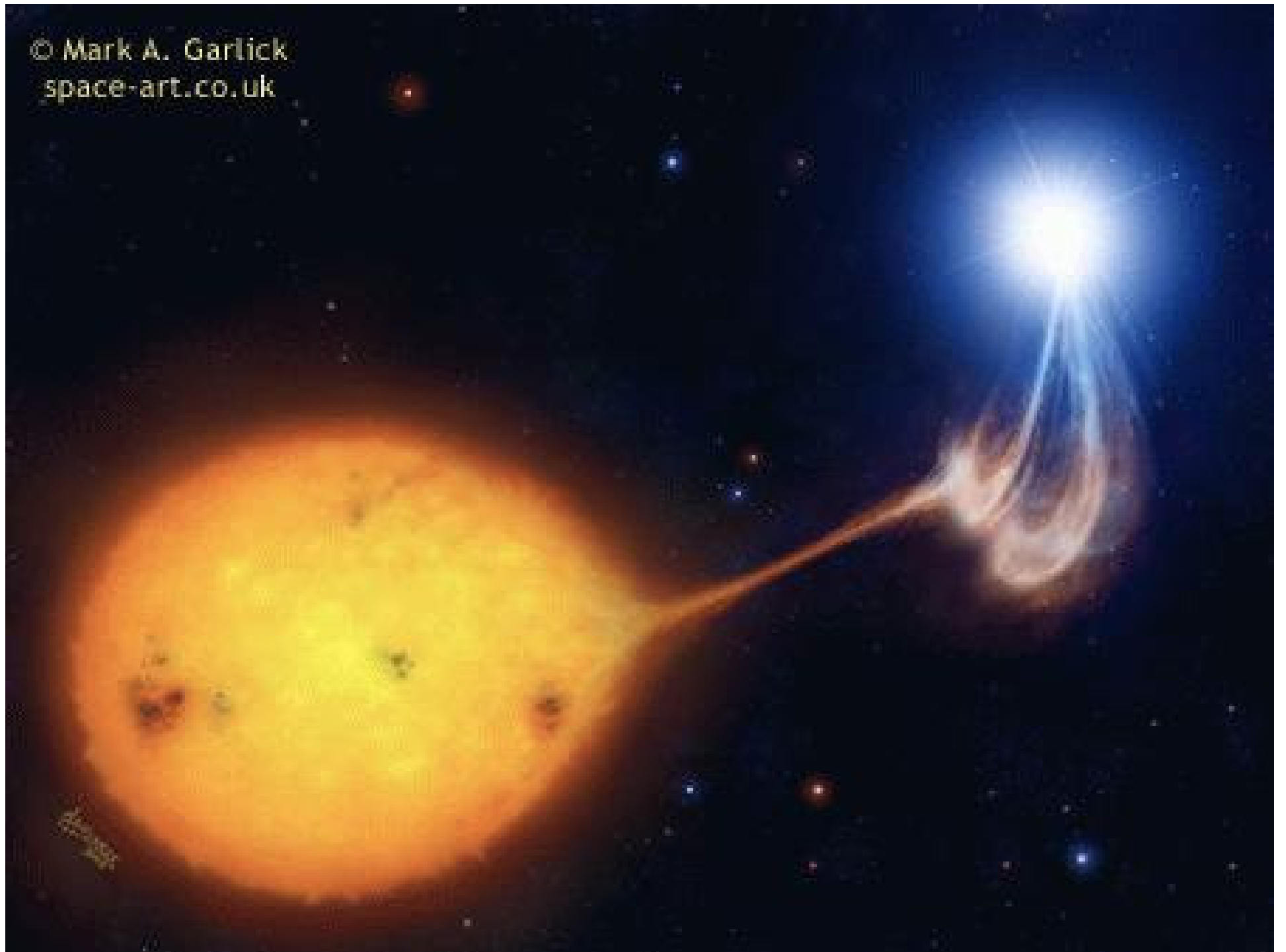


Teoria:

P. C. Makado and N. C. Mc. Gill,

J. Phys. C **19**, 873 (1986)

© Mark A. Garlick
space-art.co.uk



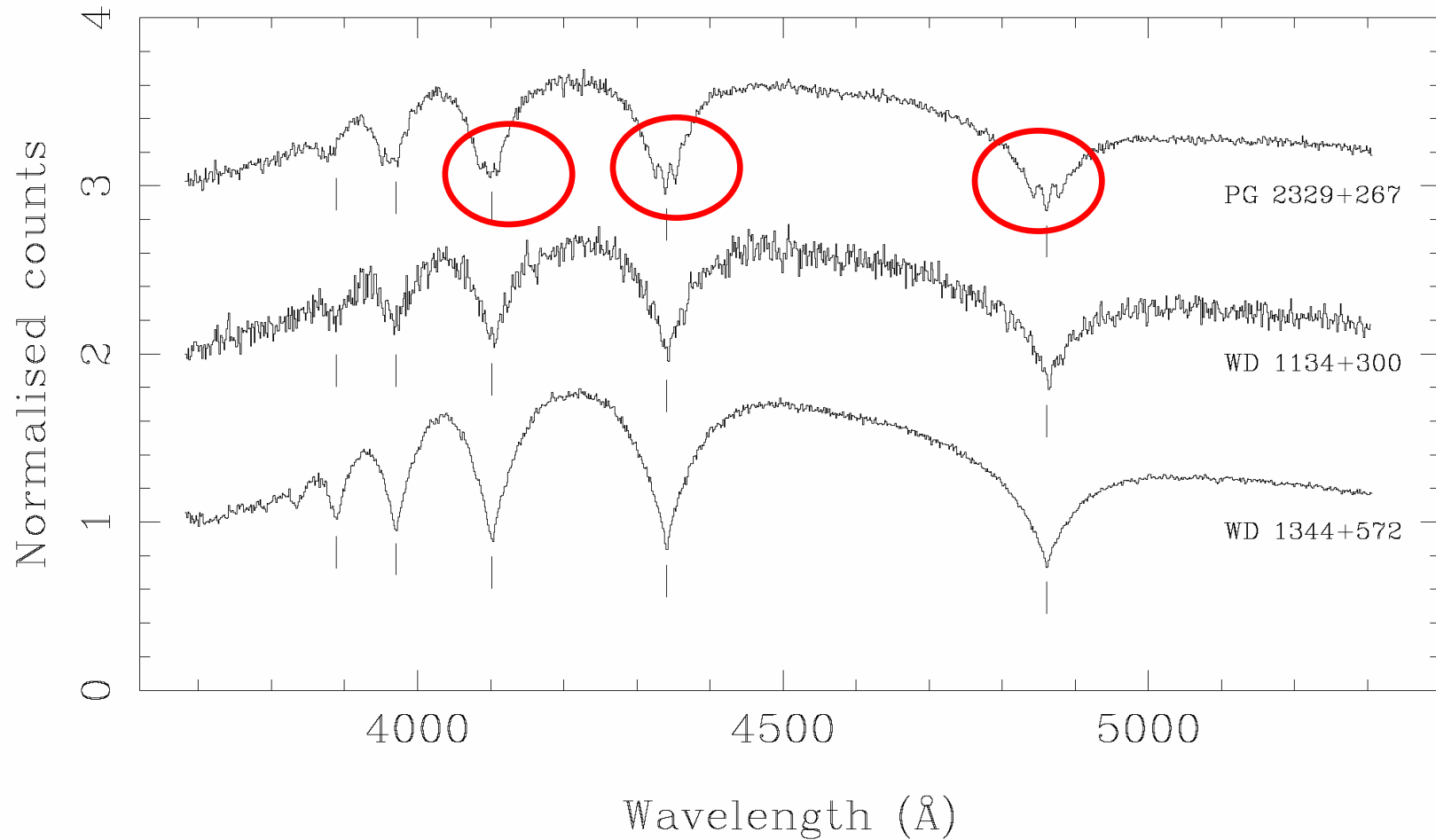


Figure 1. The spectrum of PG 2329+267 (top) taken with the INT clearly shows Zeeman splitting of the hydrogen Balmer lines due to the presence of a magnetic field. The spectra of two non-magnetic white dwarfs are offset below for comparison. The vertical lines are placed at the rest wavelengths of the Balmer lines and aid detection of the quadratic zeeman shift in the spectrum of PG 2329+267.

C. Moran, T. R. Marsh, and V. S. Dhillon (1998)